

NGU Rapport 2000.091

Bruk av grunnvarme ved sentralsykehuset i
Lørenskog – testboring, systemløsning og
økonomiske beregninger.

Rapport nr.: 2000.091	ISSN 0800-3416	Gradering: Åpen
Tittel: Bruk av grunnvarme ved sentralsykehuset i Lørenskog – testboring, systemløsning og økonomiske beregninger.		
Forfatter: Kirsti Midttømme, Helge Skarphagen og Harald Elvebakk	Oppdragsgiver: Akershus fylkeskommune	
Fylke: Akershus	Kommune: Lørenskog	
Kartblad (M=1:250.000) Oslo	Kartbladnr. og -navn (M=1:50.000) 1914 - IV Oslo	
Forekomstens navn og koordinater:	Sidetall: 56 Kartbilag:	Pris: 220
Feltarbeid utført: juli-august 2000	Rapportdato: 5.11.2000	Prosjektnr.: 2877.01 Ansvarlig: 
Sammendrag:		
<p>Geologiske undersøkelser samt energi og økonomiske beregninger viser at et borehull basert energi lager kombinert med varmepumper er et svært gunstig energialternativ for det planlagte sentralsykehuset ved Lørenskog.</p> <p>En testbrønn ble boret ned til 245m. Borehullslogging viser at berggrunnen består av dioritt gjennomskåret av utallige pegmatittganger og enkelte mørke ganger. Sprekker forekommer hyppig, men ingen kritiske knusningssoner er observert. Grunnvannstrømningen i området er moderat. Middeltemperaturen for borhullet er 7,2 °C. Ved termisk respons test måles borehullets effektuttak til 3,1 W/m·K.</p> <p>Ut fra de geologiske forholdene og energiberegninger anbefales en løsning med 255 borehull boret ned til 160 m dyp og anlagt i et rektangulært system a 17 x15.</p> <p>Økonomiske beregninger gir en nedbetalingstid for et slikt geovarmeanlegg på omkring 5 år.</p>		
Emneord: grunnvarme	borehullslogging	
		fagrappo

INNHOLD

1.	OPPSUMMERING OG ANBEFALING.....	4
2.	BORING.....	5
3.	LOGGING OG LOGGERESULTATER	7
3.1	Berggrunnen i borhullet.....	7
3.2	Gammastråling	8
3.3	Temperatur	8
3.4	Elektrisk ledningsevne i grunnvannet.	8
4.	TERMISK RESPONS TEST (TED).....	8
5.	KONKLUSJON-TESTBORING	9
6.	SYSTEMLØSNINGER OG ØKONOMISKE BEREGNINGER.....	9
6.1	Internasjonale erfaringer.....	9
6.2	Dimensjoneringsgrunnlag og økonomiske betrakninger.....	10
6.3	Dimensjonering av borehullslager.....	11
6.4	Konklusjon	12
7.	REFERANSER.....	13

VEDLEGG

1. Bilder fra borhullet fra 53,4-56,0m tatt med optisk televiwer.
2. Tolkede utsnitt av televiwoptaket fra 74-77m og 83-85m.
3. Sprekkefordeling i borhullet ned til 144m dyp inkl. sprekkeretning og fall.
4. TED-måling - utskrift og plott av måling.
5. E-Tek 14 september 2000. Enkle simuleringer av varmepumpe/borehullslager på SiA.
6. Einar Haram, Theorells AS. Notat: Grunnvarmebasert varmepumpe for SiA
7. Økonomisk beregning basert på data fra E-Tek
8. Båsum Boring 14.09.2000. Kostnadsoverslag komplett borehullslager på SiA.
9. Utskrift av EED simulering.

1. OPPSUMMERING OG ANBEFALING

Testboring ned til 245 m i det aktuelle området ved sentralsykehuset på Lørenskog (SiA) viser at berggrunnen består av dioritt som er gjennomskåret av utallige pegmatittganger og enkelte mørke ganger. Pegmatittgangene antas å øke berggrunnens varmeledningsevne. Sprekker forekommer jevnlig og flere sprekkesoner er observert. Antatt grunnvannskapasitet er 1100 l/time, og største innstrømning antas å være mellom 80 og 130 m. Middeltemperaturen for borhullet er 7,2 °C. Ved termisk respons test måles borhullets effektuttak til 3,1 W/m·K og borehullsmotstanden til 0,06 K/(W/m). Boreavviket på brønnen er 30 m

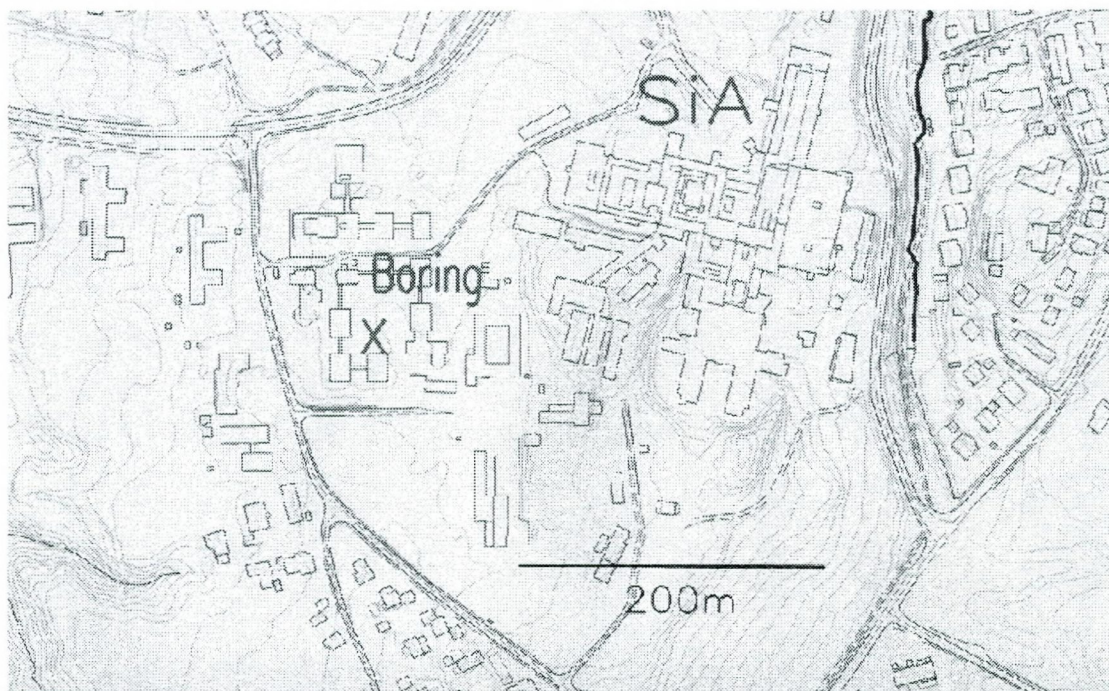
Ut fra de geologiske forholdene anbefales et borehullsbasert energilager kombinert med varmepumper. Ut fra energiberegninger anbefales en løsning med 255 borhull boret ned til 160 m dyp og anlagt i et rektangulært system a 17 x15.

Økonomiske beregninger gir en nedbetalingstid for et slikt geovarmeanlegg på omkring 5 år. I tillegg til økonomisk gevinst, vil bruk av en slik energikilde bidra til å profilere SiA Lørenskog som et miljøvennlig byggeprosjekt. Etablering av et såpass stort grunnvarmeanlegg vil også virke som en døråpner for lignende prosjekt og dermed bidra til å nå de politiske mål om økt bruk av fornybar energi.

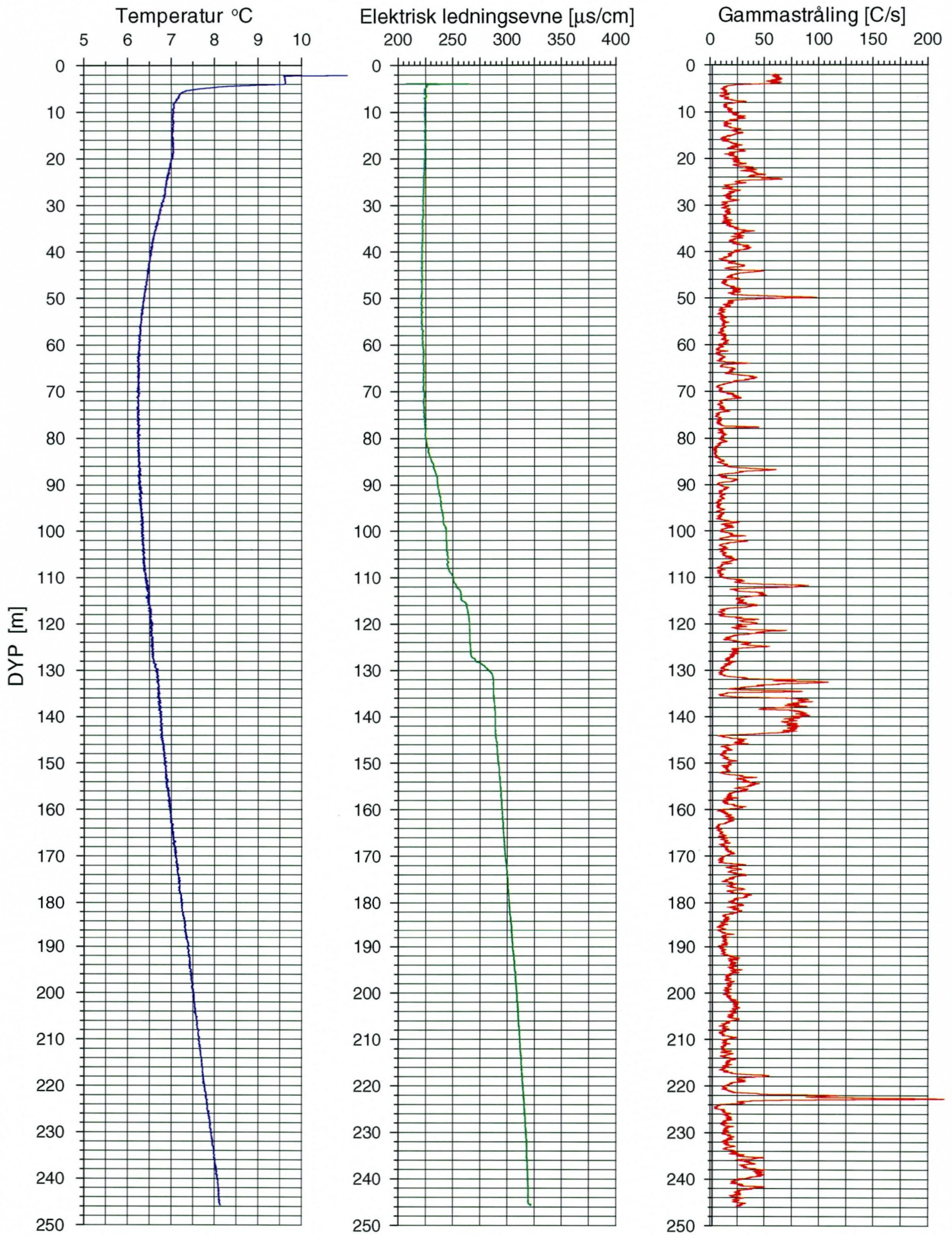
Det anbefales derfor å investere i en mer detaljert forstudie hvor forskjellige systemløsninger med varmepumper og deres driftsbetingelser blir modellert i detalj. Hvis disse studiene fortsatt konkluderer med god lønnsomhet for et borehullslager, bør det bores 3 nye prøvebrønner som vil inngå i lagerets ytterpunkter. I disse brønnene utføres geofysiske målinger inklusivt avviksmåling og termisk responstest. Ved å ha 4 prøvebrønner kan dimensjoneringen av lageret optimaliseres. Risikoen for uforutsett kraftig grunnvannsbevegelse, avvik fra forventet varmeledningsevne eller store fjellsprekker som gjør borearbeidet vanskelig, blir dermed ytterligere redusert.

2. BORING

Boring ble utført 17 juli 2000 av Båsum Boring as. Borlokalitet, vist i figur 1, ble bestemt i samråd med sentralsykehuset og ut fra løsmassemektigheten i området (NGU rapport 2000.073). Det ble boret ned til 245 m med 140 mm bordiameter. Boringen ble utført uten boretekniske problemer og ingen kritiske faktorer, så som store vanninnslag eller knusningssoner ble oppdaget under arbeidet. Sprekker og vanninnslag ble logget og borkaksprøver ble tatt for hver 10 m. Løsmasseoverdekningen var mindre enn 5 m og foringsrør ble satt ned til 5,9 m dyp. Grunnvannstanden ble målt til 4,1 m og grunnvannskapasiteten ble antatt til 1100 l/time. Avviket fra loddlinjen i den 245 m dype prøvebrønnen utgjorde 30 m i retning NNV henholdsvis 28,5 m mot nord og 7,5 m mot vest.



Figur 1. Kartskisse over borelokalitet.



Figur 2. Logger fra det 245 m dype borehullet ved SiA; Temperatur, Elektrisk ledningsevne, Gammastråling

3. LOGGING OG LOGGERRESULTATER

Temperatur, elektrisk ledningsevne i grunnvannet og gammastråling i borhullet ble logget av NGU den 8 august 00. Hele borhullet ble filmet med optisk televue. Loggresultatet er vist i figur 2 og eksempel på bilder fra borhullet fra 53,4-56,0m vist i vedlegg 1.

3.1 Berggrunnen i borhullet

Undersøkelsene viser at berggrunnen består av dioritt helt ned til 245 m. Dioritten varierer noe i farge med enkelte mørkere og lysere partier. Fargenyansene gjenspeiler variasjon i mineralsammensetning der de lysere partiene inneholder mer feltspat og kvarts. Bergarten har varierende kornstørrelse fra middels- til grovkornet, og partier med forholdsvis massiv dioritt forekommer i veksling med sterkt folierte partier som gjerne har mindre kornstørrelse enn den massive varianten.

Sprekker forekommer hyppig og flere sprekkesoner er synlige. Ingen kritiske knusningssoner som kan føre til boreproblem eller store vanninnslag er observert. Tolkede utsnitt av televueopptaket fra 74-77m og 83-85m er vedlagt som vedlegg 2 og sprekkefordeling fra 6m til 144 m er vedlagt som vedlegg 3. Sprekketetheten er høy på følgende dyp: 50- 60m, 68-84m, 105-110m, 115-119m og 133-137m og 143-144m. Hovedsprekkeretning ned til 100 m er NNØ-SSV (N20°) med et fall på 18°. Fra 100 m til 150 m dyp er SSV-NNØ (N213°) med fall 16° og SSØ-NNV (N164°) med fall 57° de 2 hovedsprekkeretningene. Andre sprekkeretninger i de øverste 100m er V-Ø (N260°) med helning 50° og S-N(190°) med helning 53 °. Under 200 m er sprekken stort sett mineralisert (gjenfylt).

Granittiske pegmatittganger forekommer i dioritten og skjæres av borhullet mange steder. De fleste pegmatittgangene forekommer som enkeltstående ganger med 2-15 cm tykkelse og i en avstand på 2-6 m. Det forekommer også tykkere ganger med en tykkelse på 30-60 cm (eks. ved 35,3 m) og også områder av flere meters tykkelse med et nettverk av pegmatittganger (eks. 63-68 m og 98-102 m). Flere av pegmatittgangene slår tydelig ut på gammaopptaket med svært markerte økninger i gammastrålingen. Enkelte av pegmatittgangene som forårsaker disse utslagene på gammaopptaket er mindre en 5 cm tykke. Under 150 m er det flere pegmatittganger som ikke vises på gammaopptaket, og disse må dermed ha et lavere innhold av elementer (U, Th, K) som gir opphav til slik stråling.

Ettersom pegmatittene er forholdsvis kvartsrike og forekommer i et nettverk av ganger i dioritten, kan disse bidra til at hele bergarten sett under ett har en større varmeledningsevne enn det som framkommer ved målinger av dioritten.

Flere mørke ganger krysser borhullet. Det er en tendens til at de mørke partiene og grensesonene til disse er sterkere oppsprukket enn omgivende bergarter. Dette kan gi lokal økning i permeabilitet i disse områdene. Den tykkeste av disse er på 3,6 m (55,4 – 59,1m), mens den tynneste er ca 10 cm. Disse gangene skiller seg ikke fra dioritten på gammaopptaket og antas å ha omtrent samme varmeledningsevne som denne.

3.2 Gammastråling

Gammastrålingen, målt i counts per second (C/s) er vist i figur 2. Plottet viser at den radioaktive strålingen er lav. Som tidligere nevnt gjenspeiler utslagene i målingene pegmatittganger. Gammastrålingen for "den reine dioritten" ligger i størrelsesordenen 10-20 C/s, mens strålingen fra pegmatittgangene måles fra 15-100 C/s, bortsett fra en 10 cm gang på 222m som har et høyere utslag på 200 C/s.

Det er tvilsomt om den "høye" radioaktiviteten fra disse gangene har noen effekt på varmestrømmen og temperaturgradienten i området. Til det er volumet av gangene for lite sammenlignet med det totale bergartsvolumet.

3.3 Temperatur

Temperaturloggen vist i figur 2 viser en noe overraskende trend med lavest målte temperatur på 6,2 °C på 71 m dyp. Fra 77 m stiger temperaturen fra 6,2 °C til 8,1 °C. Loggingen ble utført 3 uker etter boringen, og det antas at den målte temperaturen ikke er påvirket av boringen. Middeltemperaturen i borhullet er ut fra temperaturplottet på 7,2 °C.

Temperaturøkningen er relativt konstant fra 140 m til 245 m med en beregnet temperaturgradient på 14 K /km. Antas en midlere varmeledningsevne for borhullet på 2,9 W/mK ($k_{dioritt} = 2,7 \text{ W/m}\cdot\text{K}$ + tilleggsbidrag: 0,2 W/m·K for pegmatittgangene) er varmestrømmen i området 41 mW/m².

NGU's erfaring er at minimumstemperaturen vanligvis måles på 5 –15 m dyp. Tilsvarende temperaturkurver som denne er tidligere blitt publisert av Kukkonen i den finske geologiske undersøkelse blant annet fra målinger utført i Karelen (Kukkonen et al., 1998). De konkluderte med at ekstreme kuldeperioder i løpet av de siste 60 000 årene var hovedårsaken til de lave temperaturene de målte med dypet.

For temperaturmålingen på Lørenskog har vi ingen annen forklaring på trenden med synkende temperatur med dypet enn at den er påvirket av tidligere kaldere klimaperioder. Sannsynligvis gjenspeiler temperaturprofilen i de 70 øverste meterne den gradvise økningen i midlere lufttemperatur i området gjennom de siste 150 årene.

3.4 Elektrisk ledningsevne i grunnvannet.

Elektrisk ledningsevne i grunnvannet målt i $\mu\text{S}/\text{cm}$ er plottet i figur 2. Den elektriske ledningsevnen synker fra 225 til $200\mu\text{S}/\text{cm}$ ned til 51m dyp. Ved 75 m begynner ledningsevnen å stige merkbart. Økningen skjer trinnvis fram til 130 m dyp. Økningen i ledningsevne antas å skyldes innstrømning av vann. At økningen skjer trinnvis kan tolkes som at det er liten vertikal strømning på grunnvannet i området. Fra 130 m øker ledningsevnen lineært ned til 245m. I tillegg til innstrømning av "gamlere" vann med høyere ionekonsentrasjon er også gravitasjonen årsak til denne trenden i og med at det "tyngste" vannet, d.v.s det med høyest ledningsevne, vil synke til bunns. Høyest ledningsevne måles ved 245m til $320 \mu\text{S}/\text{cm}$. Veiledende verdi for drikkevann er $< 400\mu\text{S}/\text{cm}$, mens saltvann har over 500 $\mu\text{S}/\text{cm}$.

4. TERMISK RESPONS TEST (TED).

En 40 mm tykk enkel U-rør kollektorslange ble satt ned i borhullet og fylt med vann. Termisk respons test av borhullet ble utført i totalt 72 timer i tidsrommet 20-23 august 00. Utstyr og metode er beskrevet i Gehlin, (1998) og Skarphagen & Stene, (1999). Utskrift og plott av resultater er vedlagt som vedlegg 4. Effektuttaket fra borhullet ble målt til 3,1 W/m·K. Det

resultatet samsvarer bra med en målt varmeledningsevne for dioritten på 2,7 W/mK og et antatt tilleggsbidrag fra grunnvannsstrømning og nettverket av pegmatittganger.

Borehullsmotstanden i borhullet ble målt til 0,06 K/(W/m). Motstanden for enkle U-rør kollektorer som det er benyttet varierer vanligvis mellom 0,05-0,06 K/(W/m) (Gehlin & Hellström, 2000).

Middeltemperaturen i borhullet ble målt med TEDen før selve målingen startet. Temperaturen ble målt til 7,9 °C det vil si 0,7 K høyere enn middeltemperaturen beregnet ut fra temperaturloggingen. Årsaken til at temperaturen måles høyere med TEDen kan være at vannet i kollektorvæsken ikke var i likevekt med temperaturen i borhullet.

5. KONKLUSJON-TESTBORING

Ut fra resultatene fra de geologiske undersøkelsene mener vi at berggrunnen rundt det planlagte sentralsykehuset i Akershus er egnet for lagring av energi. Vi anbefaler et borehullbasert energilager i fjell som ved bruk av varmepumpe kan benyttes til oppvarming og avkjøling av det nye sentralsykehuset på Lørenskog.

6. SYSTEMLØSNINGER OG ØKONOMISKE BEREGNINGER.

NGU ble i møte 24 august 00 med Arild Mathiesen, sykehusprosjektene i Akershus, bedt om å fremlegge en lønnsomhetsberegnning for et borehullbasert energilager i fjell for det nye sykehuset på Lørenskog. Det foreligger et politisk vedtak om å benytte minimum 40% fornybar energi i det planlagte sykehuset. Geologiske undersøkelser og de foreløpige økonomiske analyser som her presenteres viser at dette kan la seg gjøre og med god lønnsomhet hvis varmepumper og borehullslager benyttes. Det vises for øvrig til Finans- og tolldepartementets forskrift datert 3 mars 2000 "Forskrift om avgrensning av fritak for investeringsavgift for investeringer i vindkraftanlegg, bioenergianlegg, varmepumper, fjernvarmeanlegg, mikro- og minivannkraftverk, tidevannsanlegg, distribusjonsnett for naturgass, solenergianlegg og geovarmeanlegg.

6.1 Internasjonale erfaringer

Erfaringer fra det svensk bygningskompleks "Infra City" nord for Stockholm, vil være av interesse for prosjektering av et borehullslager ved SiA. Infra City består av 5 blokker med til sammen 100 000 m² med kontor, hotell og butikker. Prosjektet var ferdig i 1989. Med et borehullslager basert på varmepumper er energiforbruket til byggekomplekset redusert med 40 %. Ca. 90 % av den lagrede varmen blir gjenvunnet. Tilbakebetalingstiden på geovarmeanlegget var i overkant av 3 år. Anlegget er beskrevet i Schroder et al., (1998). Berggrunnens varmeledningsevne ved Infra City er noe bedre enn den til berggrunnen på Lørenskog, men dette er ikke av avgjørende betydning.

I Belgia utnytter Kina Hospital grunnvannet til kjøling og oppvarming (Dirven & Gysen 2000). Ytterligere 3 nye sykehus med grunnvannsbaseret energilagring er planlagt. I USA er det rapportert at 37 sykehus benytter "Underground Thermal Energy Storage" (UTES) (Gitchell et al., 2000).

6.2 Dimensjoneringsgrunnlag og økonomiske betraktninger

Da det ikke er fremlagt direkte talldata for hvilke energimengder som er tilgjengelig for å "lade" opp et borehullslager vil de økonomiske beregningene være noe usikre. Data er hovedsakelig hentet fra SINTEF rapporten: *Måltall for energibruk i sykehus*, datert juli 2000. Her opereres det med et mål om å gjenvinne 70 % av ventilasjonsvarmen. Kjølebehovet er heller ikke spesifisert særlig nøyaktig så tidlig i planleggingsfasen.

Misforholdet mellom varmebehov og kjølebehov gjør det nødvendig å lade borehullene. Vanligvis gjøres dette med å direkteveksle avkastluften. Da avkastet maksimalt kommer opp i 24 °C vil ikke lageret kunne komme opp i mot mer enn ca 20°C. Ved å senke temperaturen ned mot 0 °C i avkastluften ved hjelp av varmepumper på tampen av kjølesesongen da det også er tilgjengelig "billig" sommerkraft, vil man kunne lade borehullene opp mot ca 30 °C. Dette innebærer at varmepumpen arbeider med et relativt lavt temperaturløft ved ladingen noe som gir meget god effektfaktor. Senere når varmen skal tas ut av lageret oppnås god virkningsgrad med lite relativt temperaturløft. Slik lading vil bare være lønnsomt på store lagre da disse har relativt små tap

For å optimalisere et borehullslager i samspill med varmepumper er det ikke bare de totale energimengdene inn og ut som er dimensjonerende, men effektproblematikken er også av stor betydning. Likeledes er det viktig å se hvor store reduksjoner som kan oppnås ved investeringer i varmepumpe/kjølemaskin når disse arbeider mot et energilager. Da NGU ikke har spesialkompetanse på dimensjonering av klimaanlegg har vi benyttet hjelpe fra E-Tek, som er leverandør av varmepumper og kjølemaskiner med leveranser og installasjon til flere større hoteller og industribygg (vedlegg 5). Einar Haram hos Theorells i Oslo har også bidratt med forslag og beregninger (vedlegg 6) For så mange variable kreves mange modellgjennomkjøringer for å finne frem til optimale og helhetlige systemløsninger. Nøkkeltall for grunnvarmeanleggget beregnet av E-Tek er presentert i tabell 1 og nåverdiberegningene vist i vedlegg 7. Med den tiden og de foreliggende spesifikasjoner på bygget som har vært til rådighet, er det begrenset hvor nøyaktig dette forslaget blir. De foreløpige resultatene er likevel såvidt lovende at det bør utredes en systemløsning basert på varmepumper integrert med borehullsbasert energilager, supplert med luft som varmekilde.

Tabell 1 Nøkkeltall for geovarmeanlegg.

Investeringskostnader grunnvarmeanlegg

Borehullslager	11 mill. kr
Maskineri	15 mill. kr
Diverse	6 mill. kr
Investering brutto	32 mill. kr
Innsparing i kjøleanlegg 7,2 MW	7,2 mill kr
Investering netto	24,8 mill kr

Energipris 0,4 kr /kWh

Midlere effektfaktor varmepumpe 3,20

Rente 8 %

Energiforbruk

Energiforbruk SiA til oppvarming 27,9 GWh

Oppvarming dekket ved grunnvarmeanleggget (88 %) 24,7 GWh

Økonomi

Besparelse pr. år 7,25 mill kr

Payback brutto/netto investering 4,4 år / 3,4 år

Nedbetalingstid brutto/netto investering 5,7 år / 4,2 år

6.3 Dimensjonering av borehullslager

Foruten forannevnte dimensjoneringsgrunnlag er forslaget til dimensjonering av borehullslageret gjort på grunnlag av foreløpige modellstudier basert på EED programvaren og på samtaler med Dr. Göran Hellström og Professor Olof Andersson, begge ved Lunds universitet. Kostnadsoverslaget til selve energilageret utarbeidet av Båsum boring as (se vedlegg 8) og bruk av "enkel-U" 40 mm plastkollektorslange av en kvalitet som tåler minimum 40 °C ladetemperatur ved et arbeidstrykk på 5 kg/cm²

Kollektorer og kollektorveske

Kollektorslangenes statiske arbeidstrykk vil kunne bli betydelig hvis gjenvinnerbatteriene plasseres på takene, noe som igjen medfører tykkere plastgods som gir øket termisk motstand. Dette problemet kan løses ved å separere kollektorsystemet med et ekstra varmevekslingstrinn.

For å oppnå god varmeoverføring med turbulent strømning i kollektoren må sirkulert veskemengde være på minimum 0,6 l/s. Det vil sannsynligvis være gunstig å seriekoble 3 og 3 brønner. Selv om slike systemer regnes for å være meget driftssikre og ha lang levetid, bør borehullslageret utstyres med trykktapsalarmer og stengeventiler for avstengning av mindre seksjoner av lageret.

Lekkasje av kollektorvæske er lite sannsynlig og konsekvensene vil være begrenset i og med at det ikke er grunnvannsbasert drikkevannsforsyning i nærheten. Likevel bør det velges en miljøvennlig frostveske. De svenske konsulentene anbefaler å benytte sprit/vann basert kollektorveske, med frysepunkt på minimum -15 °C da denne har liten viskositet, er lite giftig og er billig. I Sverige benyttes fortrinnsvis udenaturet sprit da denne er mest miljøvennlig. Dette bør avklares med de "norske spritmynghetene" i god tid i forveien, da det kan forventes lang saksbehandling.

Dimensjonering av brønnfelt

De geofysiske undersøkelser i testbrønnen ved SiA viste en beskjeden geotermisk temperaturgradient. Dette innebærer at relativt lite varme blir tilført lageret fra dypt noe som igjen medfører at gevinsten med å bore dypt og med større hullavstand blir redusert. Etter råd fra svenske spesialister, samt ved modellering med programmet EED (Earth Energy Designer) utviklet av Dr. Göran Hellström et al. (vedlegg 9) anbefales å benytte mer moderate boredypt og plassere boringene noe tettere i forhold til tidligere planer. Moderate boredypt gir også mindre energitap i form av intern varmeoverføring fra oppadgående til nedadgående veskestrøm i kollektoren i forhold til dypere brønner. Vi har derfor valgt å ta utgangspunkt i 255 stk. borehull til 160 m dyp i et mønster på 15 x 17 med 7 m avstand. Dette gir et gunstig forhold mellom volum og overflate på lageret.

Avviket fra loddlinjen i den 250 m dype prøvebrønnen utgjorde 30 m. Svenske erfaringer tilsier at anslagsvis 2 % av boringene i store energilager går i hverandre. At ikke flere brønner kolliderer skyldes at de avviker omtrent like mye i samme retning. På grunnlag av foretatt avviksmåling anbefales det å orientere lageret slik at største avstand mellom brønnene (diagonallinen) blir i retning NNV-SSØ.

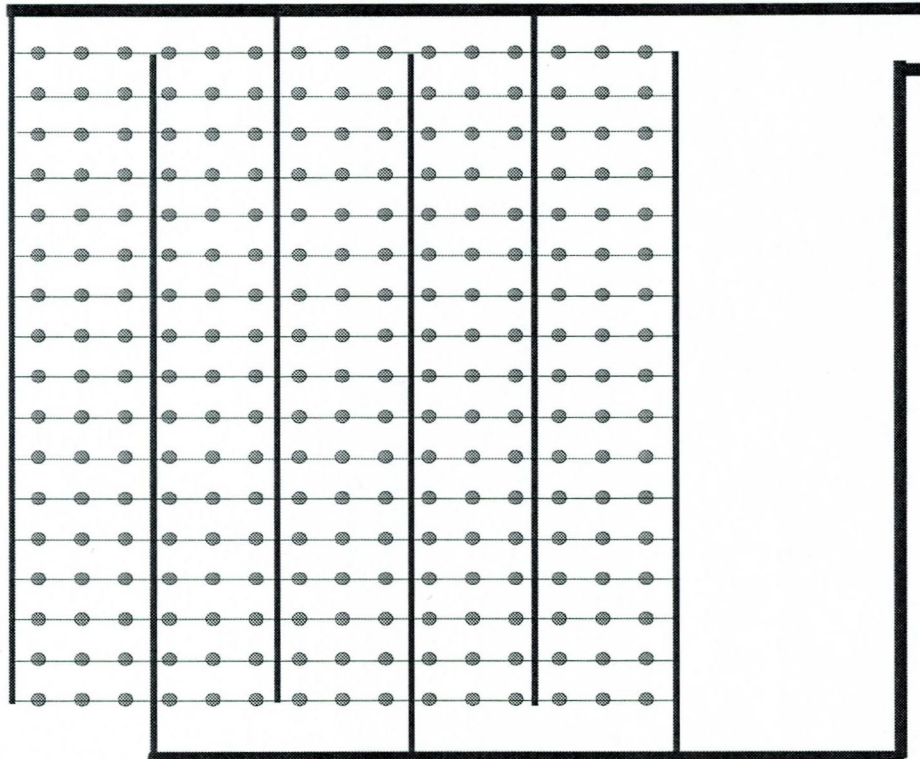
Prinsipielt er det ikke noe i veien for å underdimensjonere lageret noe, for siden å utvide med flere brønner etter som praktiske driftsresultater foreligger eller om forhøyede energipriser skulle tilsi dette. Det er derfor gunstig å overdimensjonere samlestokker og tilførselsrør noe, og samtidig båndlegge arealer for fremtidige utvidelser.

SIA BH lager
255 stk BH (15 x 17)
dyp: 160m avstand: 7m
arealbehov:
100 x 115 m
volum: 1,8 mill m³
40800 løpemeter boring

bergart: dioritt
termisk ledningsevne
3,1 W/mK
volumetrisk
varmekapasitet:
2,33MJ/m3 K
geotermisk "heat flux"
43 mW/m²

40 mm kollektorslange
3 og 3 brønner kobles
i serie

Kostnadsanslag lager
kr 11 mill.



Figur 3. Prinsippskisse for borhullslager bestående av 255 stk borhull. Nøkkeltall for lageret er gitt i teksten.

6.4 Konklusjon

De geologiske undersøkelsene samt beregningene som er gjort viser at et borehullsbasert energilager kombinert med varmepumper vil være lønnsomt. Økonomiske beregninger gir en nedbetalingstid på omkring 5 år. I tillegg til økonomisk gevinst, vil bruk av en slik energikilde bidra til å profilere SiA Lørenskog som et miljøvennlig byggeprosjekt. Etablering av et såpass stort grunnvarmeanlegg vil også virke som en døråpner for lignende prosjekt og dermed bidra til å nå de politiske mål om økt bruk av fornybar energi.

Det anbefales derfor å investere i en mer detaljert forstudie hvor forskjellige systemløsninger med varmepumper og deres driftsbetingelser blir modellert i detalj. Hvis disse studiene fortsatt konkluderer med god lønnsomhet for et borehullslager, bør det bores 3 nye prøvebrønner som vil inngå i lagerets ytterpunkter. I disse brønnene utføres geofysiske målinger inklusivt avviksmåling og termisk responstest. Ved å ha 4 prøvebrønner kan dimensjoneringen av lageret optimaliseres. Risikoene for uforutsett kraftig grunnvannsbevegelse, avvik fra forventet varmeledningsevne eller store fjellsprekker som gjør borearbeidet vanskelig, blir dermed ytterligere redusert.

Da den skisserte løsningen ikke er i alminnelig bruk i Norge, bør det settes økonomisk forpliktende krav til leverandøren av anlegget med hensyn til ytelses, driftssikkerhet og levetid.

7. REFERANSER

- Dirven, P & Gysen, B. 2000: Towards the Growth of ATES in Flanders (Belgium). *Terrastock 2000 Proceedings Volume 1*, 33-38.
- Gehlin, S. 1998: Thermal Response Test. In-Situ Measurements of Thermal Properties in Hard Rock. *Licentiate Thesis. Luleå University of Technology* 1998:37.
- Gehlin, S. & Hellström, G. 2000: Recent Status of In-situ Thermal Response Tests for BTES Applications in Sweden. *Terrastock 2000. Proceedings Volume 1*, 159-164.
- Gitchell, A., Stiles, L & Taylor, H. 2000: Underground Thermal Energy Storage in the US and CO₂ Emission Reductions. *Vedlegg til Terrastock 2000, Proceedings Volume 1*, 7s.
- Kukkonen, I.T., Gosnold, W.D. & Safanda, J. 1998: Anomalously low heat flow density in eastern Karelia, Baltic Shield: a possible palaeoclimatic signature. *Tectonophysics*, 291, 235-249.
- Midttømme, K., Skarphagen, H., Nordgulen, Ø. & Longva, O.: Utredning om grunnvarme til planlagte sykehus i Akershus. *NGU Rapport 2000.073*. 31s
- Schroeder, K., Hellström, G. & Dalenbäck, J-O. 1998: Borrhålsvärmelager i Infra City. Utvärdering. Mätcentralen. Chalmers Tekniska Högskola, D6: 1998, 46s.
- Skarphagen, H. & Stene, J. 1999: Geothermal heat pumps in Norway. *IEA Heat Pump Centre Newsletter*, Volume 17 – No1.

Vedlegg 1

Bilder fra borhullet fra 53,3 m til 56,0 m dyp tatt med optisk televuever, 2sider

Kjernene viser borhullet sett fra de 4 hovedretningene, nord, øst, sør og vest.
Bergarten fra 53,3 m til 55,4 m er dioritt. De lyse stripene er pegmatittganger mens de
mørke stripene er sprekker. Ved 55,4 m bores det inn i en mørk gangbergart.



ROBERTSON GEOLOGGING TECHNOLOGY

Borehole: Lora

Lørenskog

top of borehole.....

East:

North:

Alt:

North ref. is magnetic

Depth units are metres

Vertical scale: 1/6

Horiz scale = vert scale

Zone from 56.300 to 53.300m

Vertical = borehole-axis

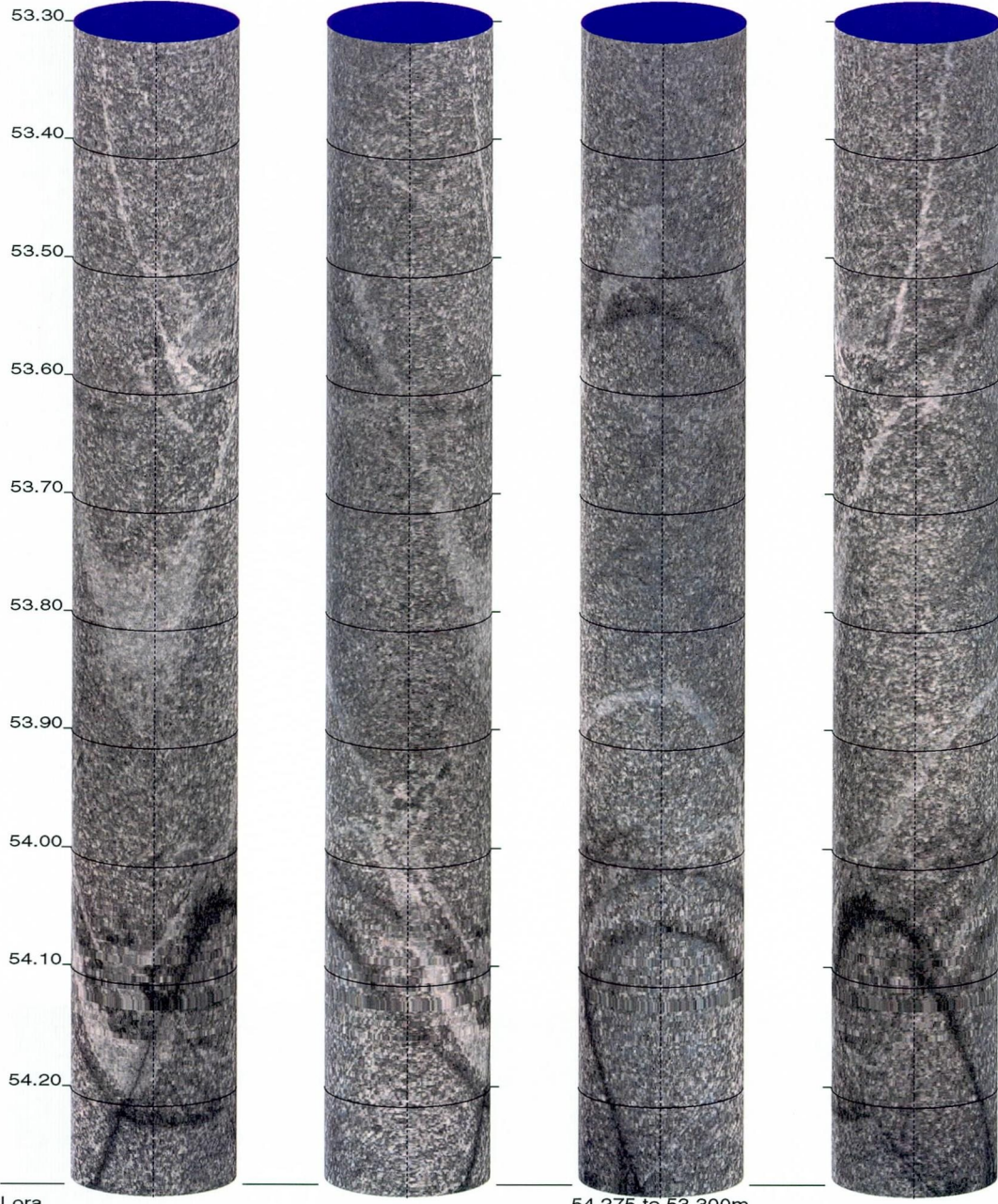
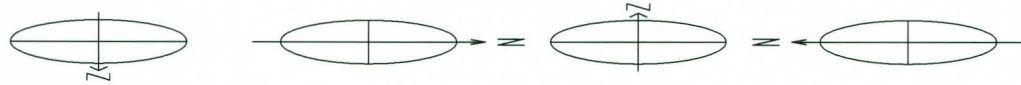
Cores oriented: N000 N090 N180 N270

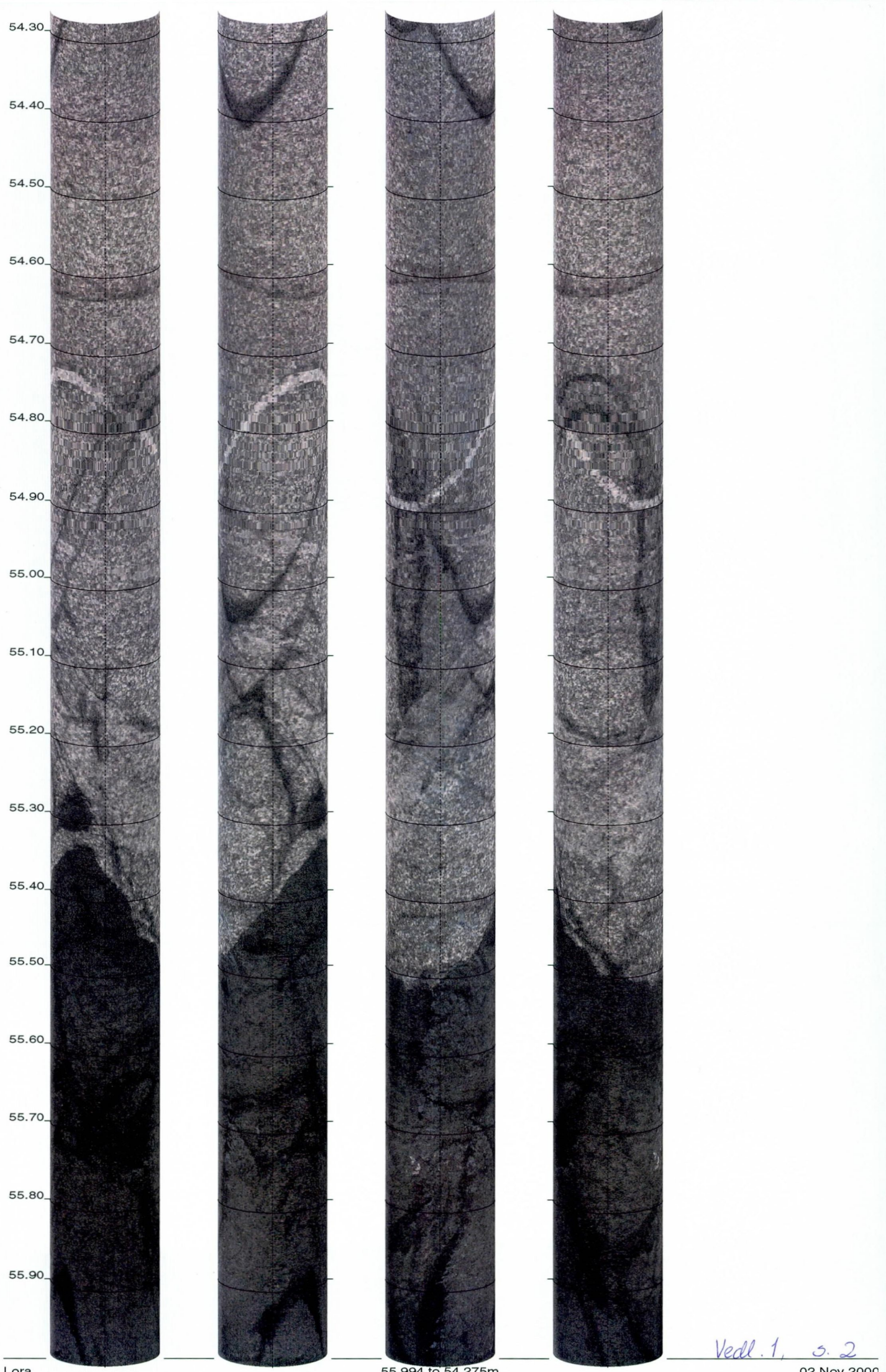
Borehole diam: 14.000cm

data intervals

radial: 0.5000deg

axial: 0.0010m





Vedl. 1, s. 2

02 Nov 2000

Vedlegg 2

Tolkede utsnitt av televiewopptaket fra 74-77m og 83 –85m, 2 sider

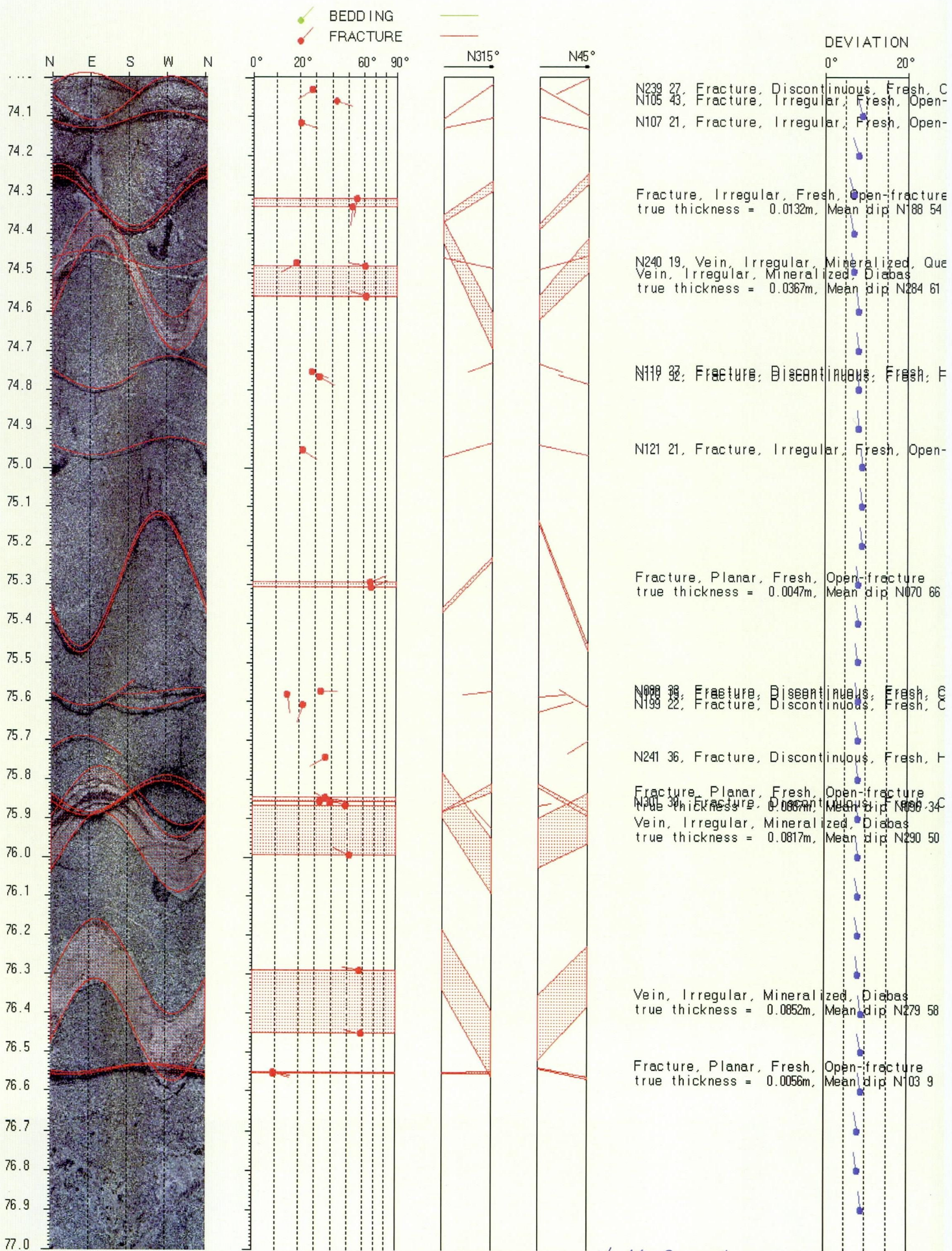
Bildet viser utsnitt av et "utbrettet" borhull sett fra retningsrekkefølgen nord-øst-sør-vest-nord. De røde linjene er lagt på og angir antatte sprekker.

Fall, tykkelse og retning på sprekkenene er vist i de 3 neste diagrammene.
Kommentarer om sprekkenene er lagt inn. Det siste diagrammet viser borhullsavviket.

OPTISK TELEVIEWER

FRACTURE ANALYSIS LOG

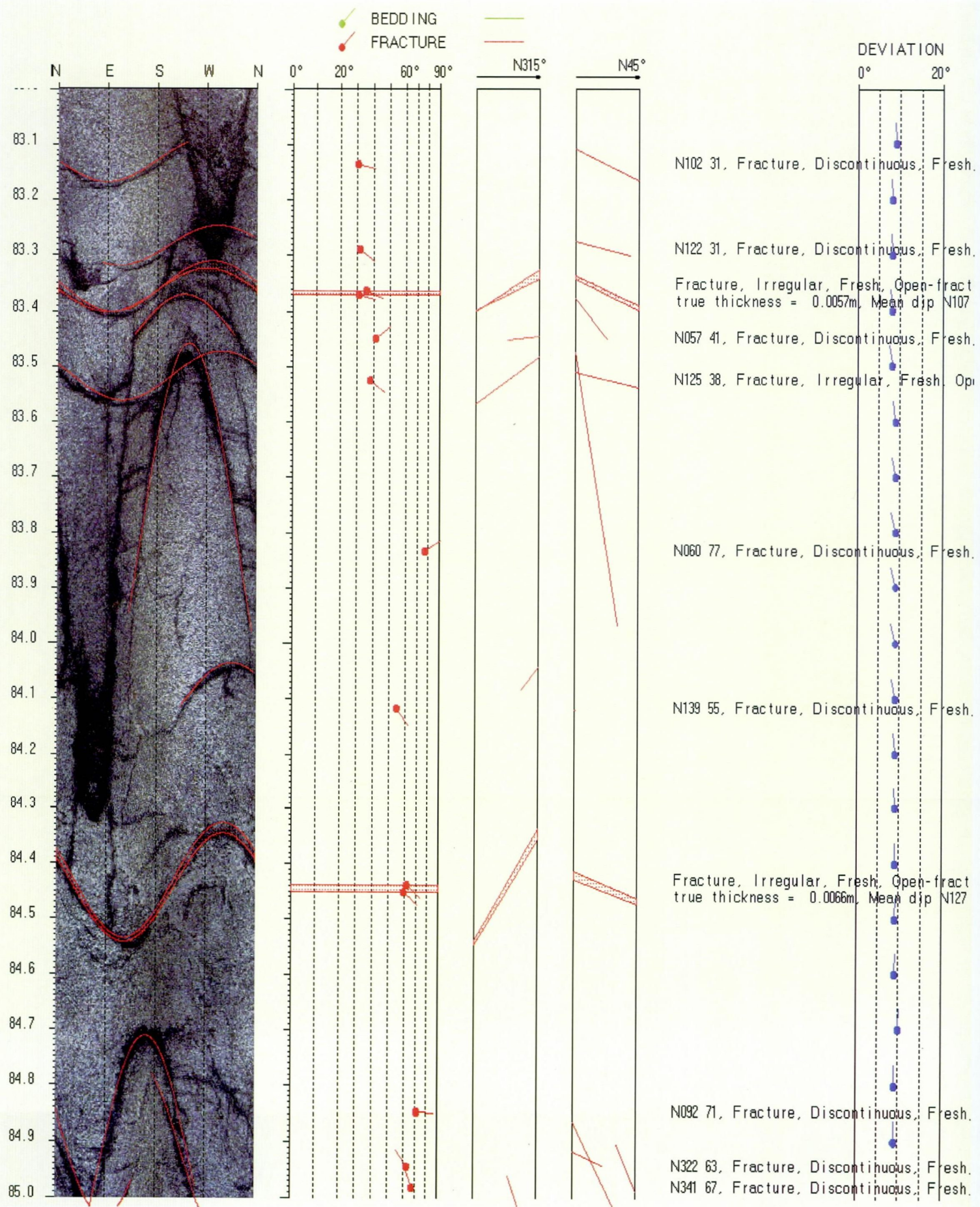
Sentralpsykehuset i Akershus, Lørenskog



OPTISK TELEVIEWER

FRACTURE ANALYSIS LOG

Sentralsykehuset i Akershus, Lørenskog



Vedl. 2, s.2

Vedlegg 3

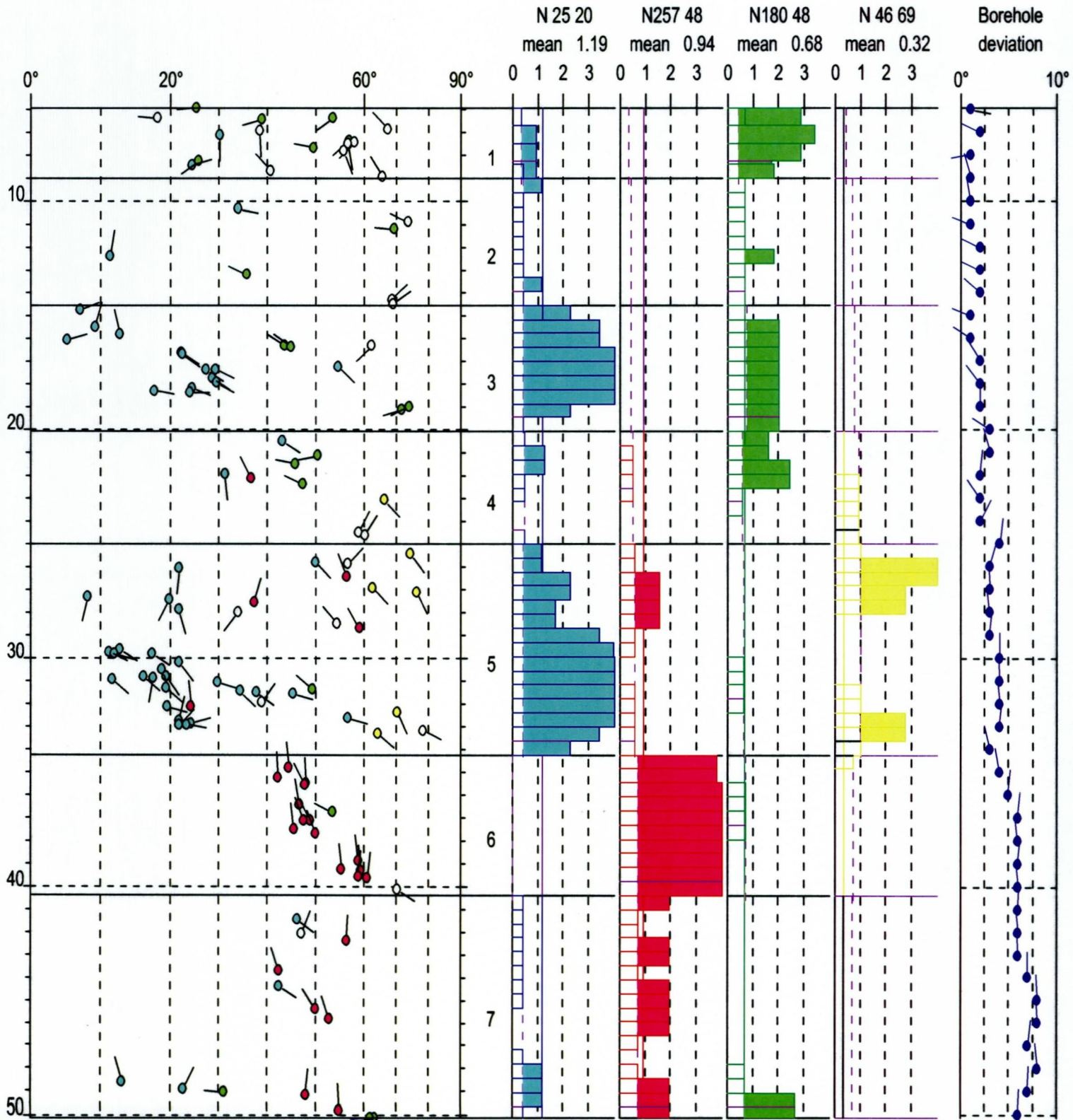
Sprekkefordeling i borhullet ned til 144m dyp 6 sider (6-50m side 1,2; 51-102m side 3,4 og 103-144m side 5,6).

Sprekkene er gruppert ut fra strøk og fall og vist både i sprekkefordelingsdiagram og i stereogram. Sprekkegruppene er vist med forskjellige farger. For sekvens 6-50m er sprekken i retning NNØ-SSV med et fall på rundt 20° merket med blå farge. Sprekkegruppa er kalt N25 20 som viser til midlere strøk og fall retning. Sprekkene er også plottet ut fra strøk og fallretning i stereogrammene på side 2,4 og 6. Den øverste tabellen til venstre for stereogrammet angir antall sprekker i hver gruppe og sprekkefrekvens. Den nederste tabellen viser skjæringslinja mellom de forskjellige sprekkeplanene. Denne linja kan ofte være en kritisk sprekkeretning.

OPTISK TELEVIEWER

FRACTURE ANALYSIS LOG

Sentralsykehuset i Akershus, Lørenskog



OPTISK TELEVIEWER

FRACTURE ANALYSIS STEREOGRAM

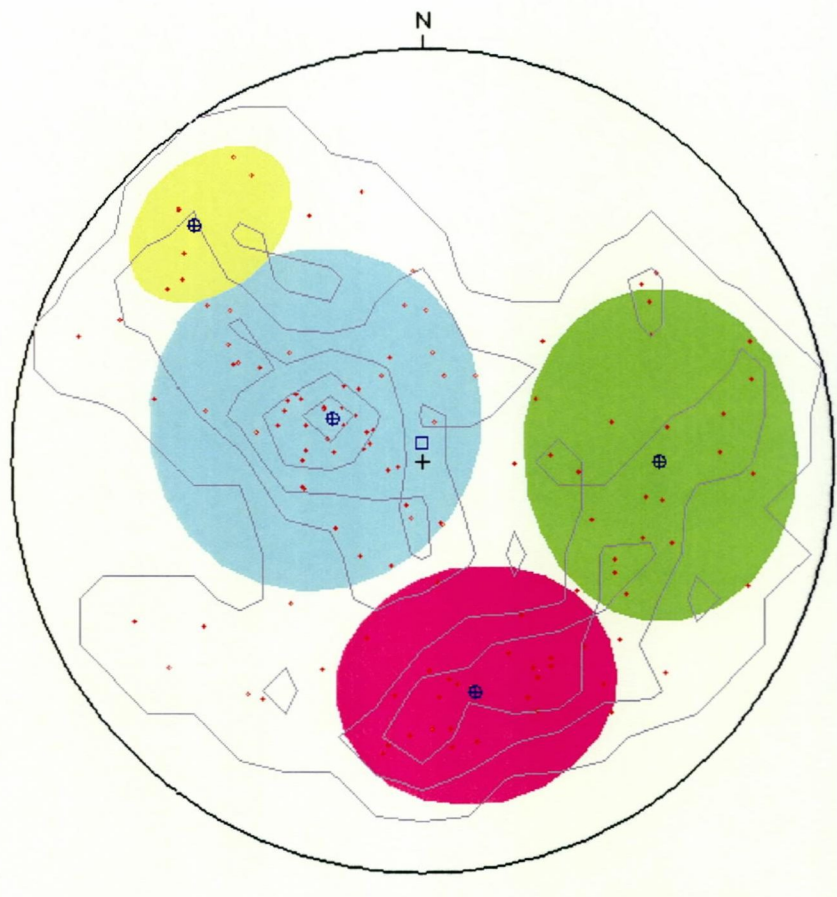
Sentralsykehuset i Akershus, Lørenskog

Lørenskog
 Zone 0, 5.908 - 50.099m
 Deviation 3.5 N352.6
 dip data sets
 OPTV dips

	mean dip	n	f
N025 20	N025 20	50	1.19
N257 48	N257 48	25	0.94
N180 48	N180 48	20	0.68
N046 69	N046 69	6	0.32

intersections

	N025 20	N257 48	N180 48	N046 69
N025 20		30 N037	13 N199	9 N202
N257 48	30 N037		35 N308	8 N068
N180 48	16 N199	35 N308		12 N193
N046 69	9 N202	8 N068	12 N193	

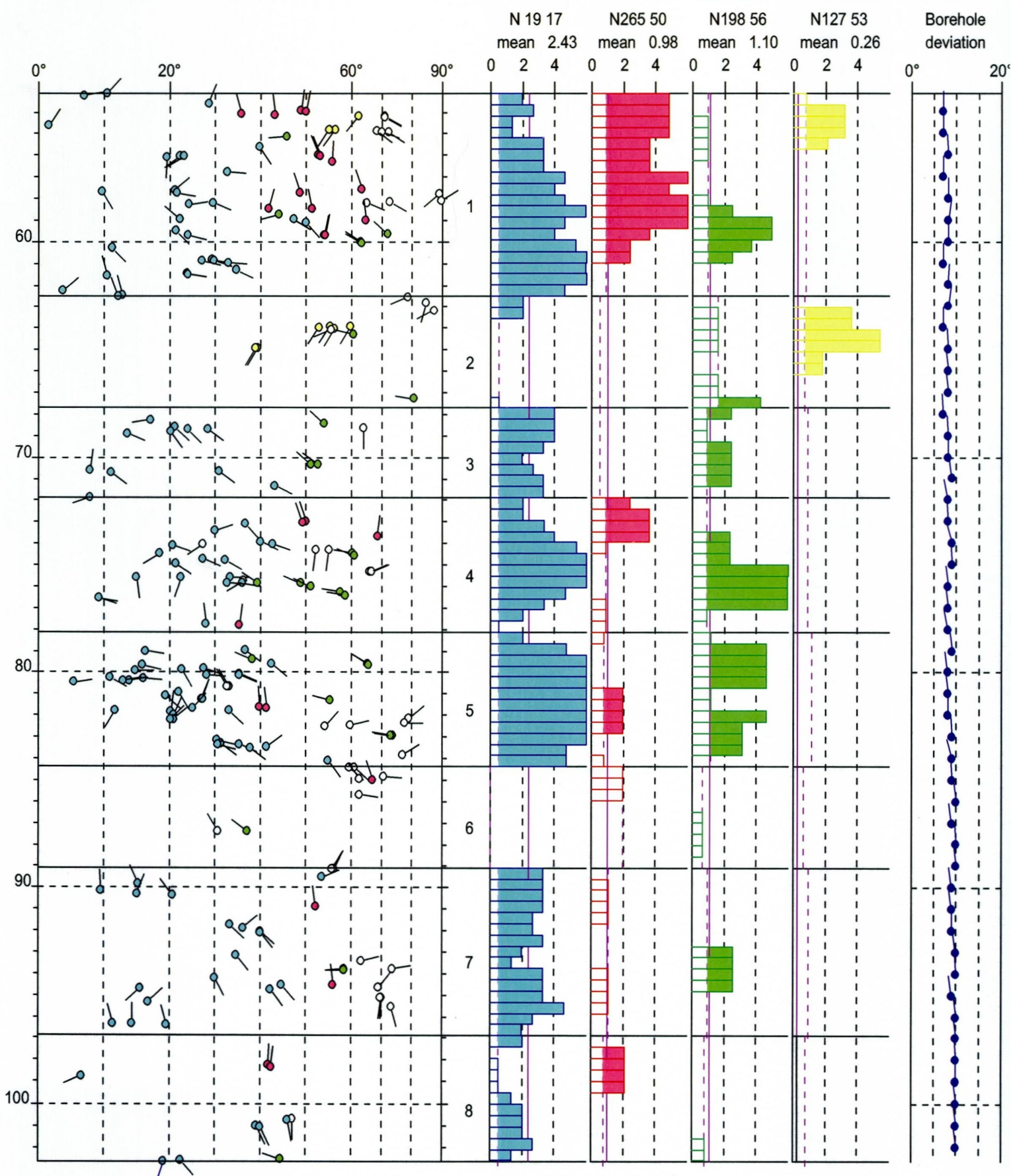


equal-area lower-hemisphere 0-90  well axis  mean dip

OPTISK TELEVIEWER

FRACTURE ANALYSIS LOG

Sentralsykehuset i Akershus, Lørenskog



OPTISK TELEVIEWER FRACTURE ANALYSIS STEREOGRAM

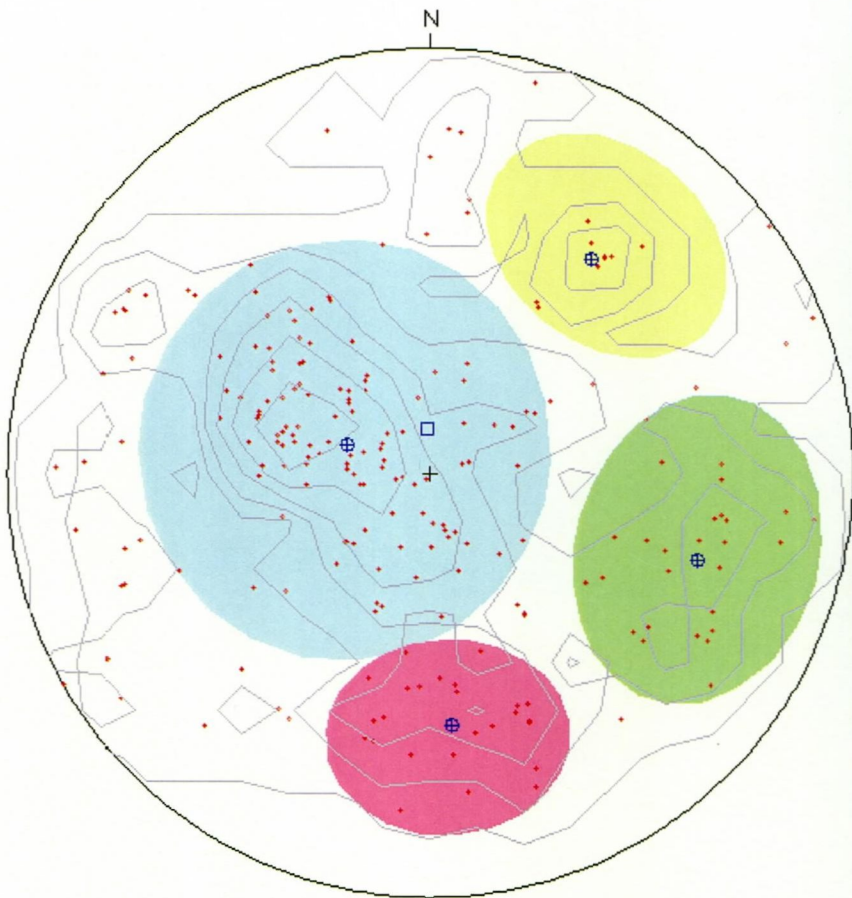
Sentralsykehuset i Akershus, Lørenskog

Lora
 Zone 0, 53.126 - 102.640m
 Deviation 8.5 N355.2
 dip data sets
 OPTV dips

	mean dip	n	f
N019 17	N019 17	116	2.43
N265 50	N265 50	25	0.98
N198 56	N198 56	27	1.10
N127 53	N127 53	9	0.26

intersections

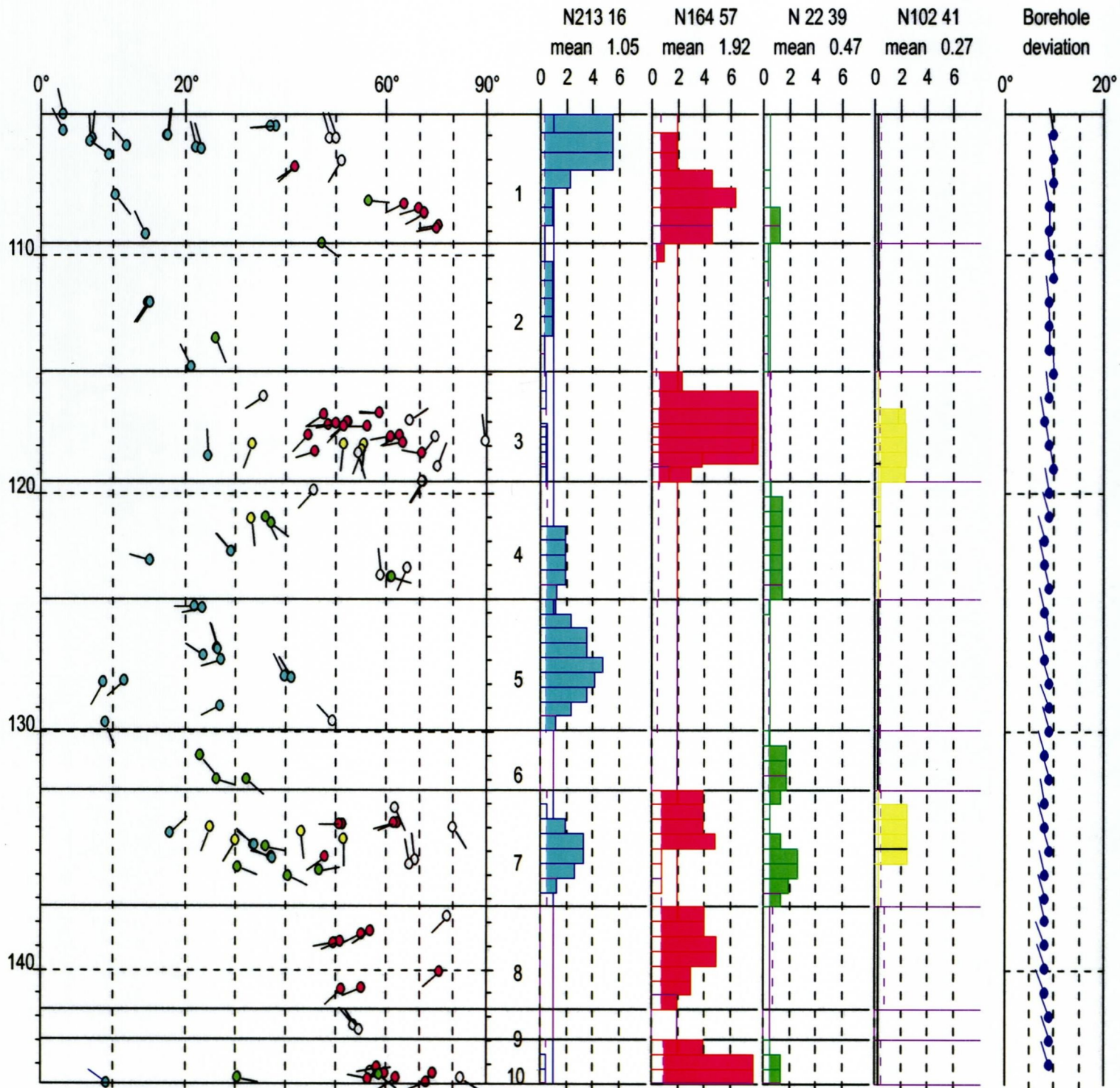
	N019 17	N265 50	N198 56	N127 53
N019 17	X X	34 N031	1 N199	33 N187
N265 50	34 N031	X X	32 N312	16 N285
N198 56	1 N199	32 N312	X X	30 N257
N127 53	33 N187	16 N285	30 N257	X X



OPTISK TELEVIEWER

FRACTURE ANALYSIS LOG

Sentralsykehuset i Akershus, Lørenskog



OPTISK TELEVIEWER

FRACTURE ANALYSIS STEREOGRAM

Sentralsykehuset i Akershus, Lørenskog

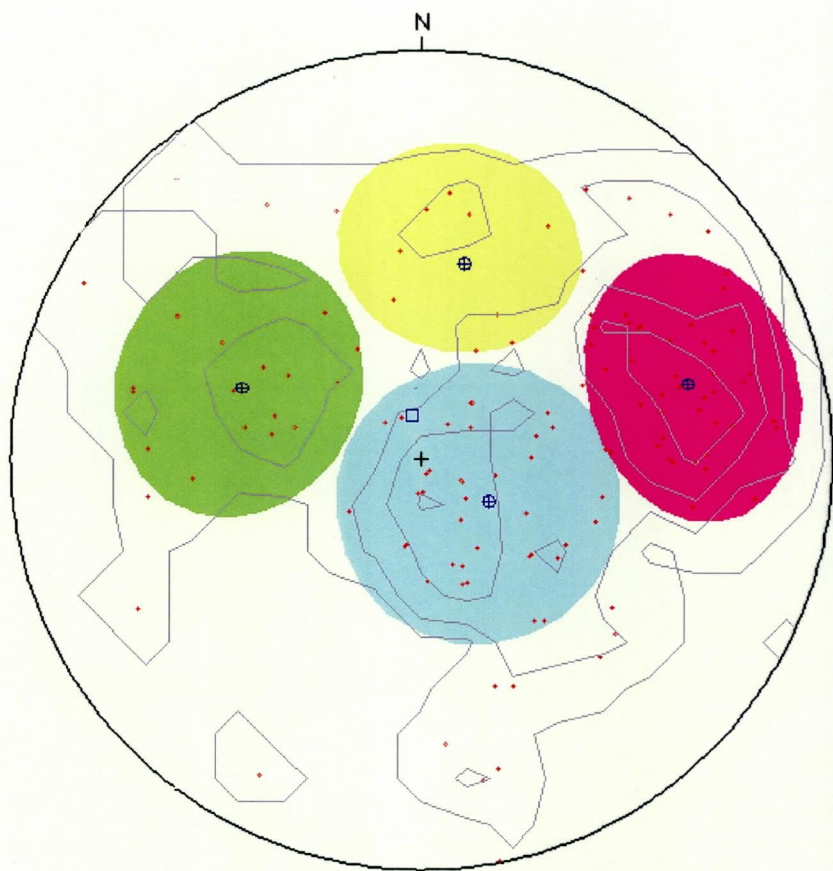
Zone 0, 104.111 - 144.786m
Deviation 8.7 N345.3

dip data sets
OPTV dips

	mean dip	n	f
N213 16	N213 16	39	1.05
N164 57	N164 57	40	1.92
N022 39	N022 39	16	0.47
N102 41	N102 41	9	0.27

intersections

	N213 16	N164 57	N022 39	N102 41
N213 16	X	29 N222	10 N030	43 N228
N164 57	29 N222	X	15 N189	33 N248
N022 39	10 N030	15 N189	X	42 N154
N102 41	43 N228	33 N248	42 N154	X



equal-area lower-hemisphere 0-90 □ well axis
 ⊕ mean dip

Vedlegg 4

Termisk respons test (TED) 9 sider; (2 plott + 7 datasider)

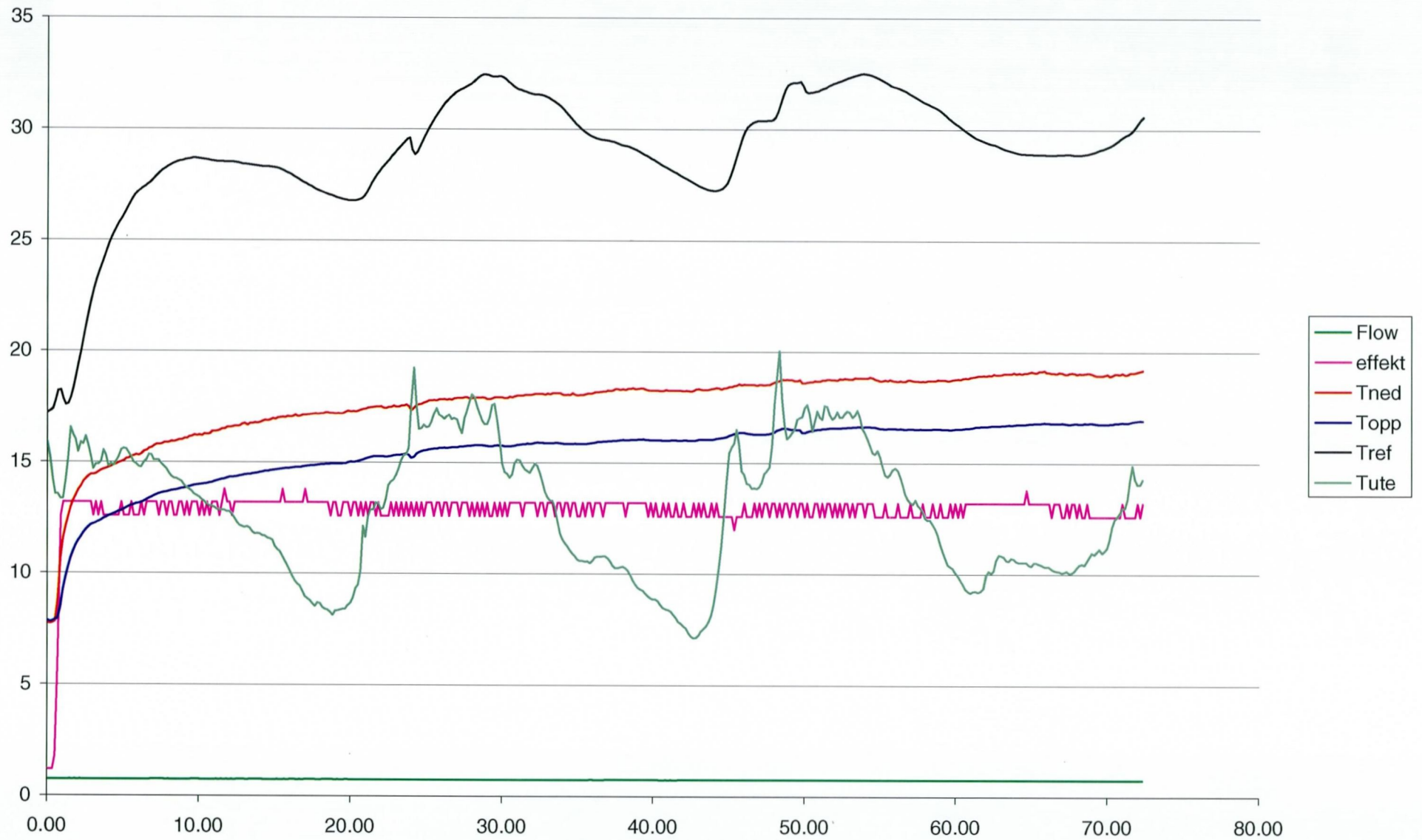
Data fra termisk respons testen.

Plottet på side 1 viser oversikt over loggedata. X-aksen angir timer. Loggedataene er *vannstrøm* (mørk grønn linje) målt i liter/ sekund, *effekt* (rosa linje) målt i kW; *temperatur på vannet som sendes ned*; T_{ned} (rød linje), *temperatur på vannet som pumpes opp*; T_{opp} (blå linje), *referanse temperatur* T_{ref} (svart linje) og *utetemperatur* T_{ute} (lys grønn linje).

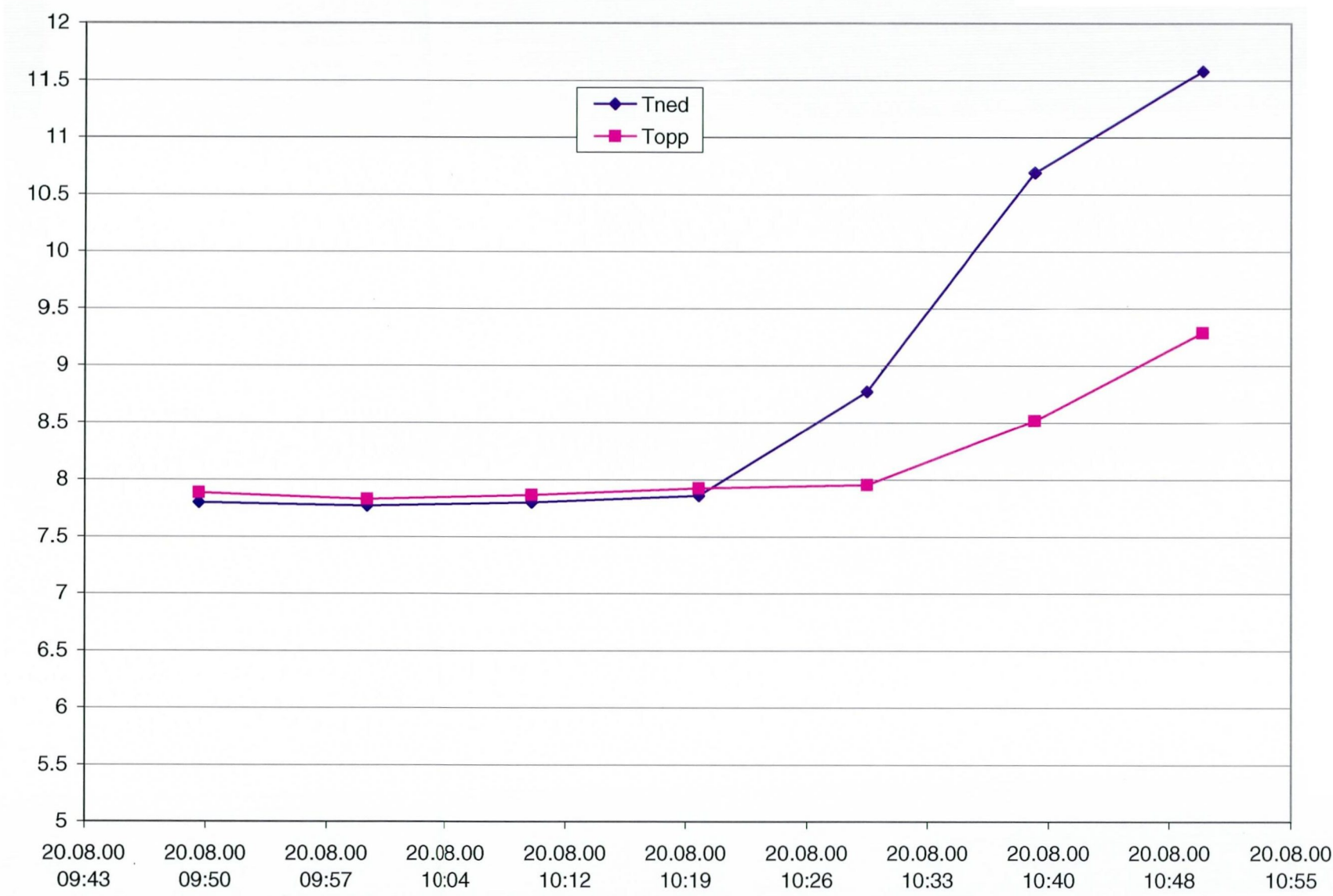
Alle temperaturdata er gitt i °C.

Plottet på side 2 viser uforstyrret temperatur i grunnen. Blå linje angir temperatur på vannet som sendes ned (T_{ned}) og rød linje angir temperatur på vannet som pumpes opp (T_{opp}). Temperaturen er gitt i °C.

Oversikt over loggedata



Uforstyrret temperatur i grunnen



66.83	23.08.00 05:30	240600	12.39089	19.09	16.792	17.94		10.08		14.67	15.20	15.73	16.25	16.78	17.31	17.84	18.37	18.89	19.42	19.95	
67.00	23.08.00 05:40	241200	12.39338	19.08	16.801	17.94		10.17		14.67	15.20	15.73	16.26	16.78	17.31	17.84	18.37	18.90	19.42	19.95	
67.17	23.08.00 05:50	241800	12.39587	19.03	16.804	17.92		10.31		14.68	15.20	15.73	16.26	16.79	17.32	17.84	18.37	18.90	19.43	19.96	
67.33	23.08.00 06:00	242400	12.39834	19.06	16.781	17.92		10.43		14.68	15.21	15.74	16.26	16.79	17.32	17.85	18.38	18.90	19.43	19.96	
67.50	23.08.00 06:10	243000	12.40082	19.04	16.789	17.91		10.49		14.68	15.21	15.74	16.27	16.80	17.32	17.85	18.38	18.91	19.43	19.96	
67.67	23.08.00 06:20	243600	12.40328	19.06	16.809	17.93	17.93	17.94	10.43		14.69	15.21	15.74	16.27	16.80	17.33	17.85	18.38	18.91	19.44	19.97
67.83	23.08.00 06:30	244200	12.40574	19.07	16.805	17.94		10.61		14.69	15.22	15.75	16.27	16.80	17.33	17.86	18.39	18.91	19.44	19.97	
68.00	23.08.00 06:40	244800	12.4082	19.07	16.817	17.94		10.8		14.69	15.22	15.75	16.28	16.81	17.33	17.86	18.39	18.92	19.44	19.97	
68.17	23.08.00 06:50	245400	12.41064	19.04	16.813	17.93		10.98		14.70	15.22	15.75	16.28	16.81	17.34	17.86	18.39	18.92	19.45	19.98	
68.33	23.08.00 07:00	246000	12.41309	19	16.797	17.90		10.92		14.70	15.23	15.76	16.28	16.81	17.34	17.87	18.40	18.92	19.45	19.98	
68.50	23.08.00 07:10	246600	12.41552	18.97	16.79	17.88		11.02		14.70	15.23	15.76	16.29	16.81	17.34	17.87	18.40	18.93	19.45	19.98	
68.67	23.08.00 07:20	247200	12.41795	18.97	16.772	17.87	17.91	11.15		14.71	15.23	15.76	16.29	16.82	17.35	17.87	18.40	18.93	19.46	19.99	
68.83	23.08.00 07:30	247800	12.42038	18.97	16.766	17.87		10.97		14.71	15.24	15.77	16.29	16.82	17.35	17.88	18.41	18.93	19.46	19.99	
69.00	23.08.00 07:40	248400	12.4228	19	16.771	17.89		11.08		14.71	15.24	15.77	16.30	16.82	17.35	17.88	18.41	18.94	19.46	19.99	
69.17	23.08.00 07:50	249000	12.42521	19.02	16.775	17.90		11.22		14.72	15.24	15.77	16.30	16.83	17.36	17.88	18.41	18.94	19.47	20.00	
69.33	23.08.00 08:00	249600	12.42761	18.95	16.78	17.87		11.59		14.72	15.25	15.78	16.30	16.83	17.36	17.89	18.42	18.94	19.47	20.00	
69.50	23.08.00 08:10	250200	12.43002	18.98	16.79	17.89		12.17		14.72	15.25	15.78	16.31	16.83	17.36	17.89	18.42	18.95	19.47	20.00	
69.67	23.08.00 08:20	250800	12.43241	19.05	16.816	17.93	17.89	12.49		14.73	15.25	15.78	16.31	16.84	17.37	17.89	18.42	18.95	19.48	20.01	
69.83	23.08.00 08:30	251400	12.4348	19.05	16.819	17.93		12.61		14.73	15.26	15.79	16.31	16.84	17.37	17.90	18.42	18.95	19.48	20.01	
70.00	23.08.00 08:40	252000	12.43718	19.03	16.839	17.93		12.77		14.73	15.26	15.79	16.32	16.84	17.37	17.90	18.43	18.96	19.48	20.01	
70.17	23.08.00 08:50	252600	12.43956	19.07	16.851	17.96		12.99		14.74	15.26	15.79	16.32	16.85	17.38	17.90	18.43	18.96	19.49	20.01	
70.33	23.08.00 09:00	253200	12.44193	19.01	16.839	17.92		13.02		14.74	15.27	15.79	16.32	16.85	17.38	17.91	18.43	18.96	19.49	20.02	
70.50	23.08.00 09:10	253800	12.4443	19.03	16.837	17.93		13.4		14.74	15.27	15.80	16.33	16.85	17.38	17.91	18.44	18.97	19.49	20.02	
70.67	23.08.00 09:20	254400	12.44656	19.09	16.866	17.98	17.94	14.26		14.75	15.27	15.80	16.33	16.86	17.39	17.91	18.44	18.97	19.50	20.02	
70.83	23.08.00 09:30	255000	12.44902	19.09	16.896	17.99		14.91		14.75	15.28	15.80	16.33	16.86	17.39	17.92	18.44	18.97	19.50	20.03	
71.00	23.08.00 09:40	255600	12.45137	19.1	16.914	18.01		14.31		14.75	15.28	15.81	16.34	16.86	17.39	17.92	18.45	18.98	19.50	20.03	
71.17	23.08.00 09:50	256200	12.45371	19.14	16.92	18.03		14.07		14.76	15.28	15.81	16.34	16.87	17.39	17.92	18.45	18.98	19.51	20.03	
71.33	23.08.00 10:00	256800	12.45605	19.17	16.942	18.06		14.06		14.76	15.28	15.81	16.34	16.87	17.40	17.93	18.45	18.98	19.51	20.04	
71.50	23.08.00 10:10	257400	12.45839	19.2	16.922	18.06		14.28		14.76	15.29	15.82	16.35	16.87	17.40	17.93	18.46	18.98	19.51	20.04	

Vedlegg 5

Fra E-Tek:
Enkle simuleringsstudier av varmepumpe/borehullslager på SiA.
4 sider

Enkle simuleringsstudier av varmepumpe/borehullslager på SiA

Generelt

Her skal presenteres noen simuleringsresultater samt forutsetningene som ligger til grunn for dem. Energiflyten i oppvarmings- og kjølesystemene ved nye SiA er studert med ulike metoder, som alle har gitt essensielt samme resultater.

Forutsetningene

1. Temperaturdata og energibehov til kjøling og oppvarming

Vi har bygd på effektoppgavene fra rapport A5244, men beregnet effektforbruket ut fra temperaturdata for Fosser i Høland, målinger fra 1991-96. Middeltemperaturene er brukt til å generere "syntetiske" gradtimetall ved simulering. Vi har ikke hatt tilgang til døgnmiddeltemperaturer for Lørenskog.

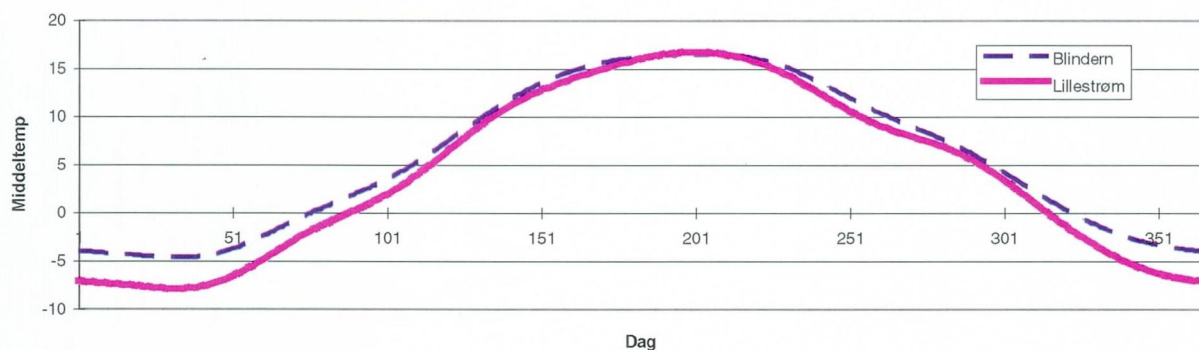


Fig 1. Middeltemperaturen for Blindern og Lillestrøm. Vi ser at sommertemperaturene er ganske like, mens vintertemperaturen er betydelig lavere i Lillestrøm. SiA vil temperaturmessig ligge mellom Lillestrøm og Oslo.

Middeltemperaturen i simuleringen er 4.5 °C, omtrent det samme som for SiA. Simuleringen vil trolig gjennomsnittlig overestimere kuldeperiodene noe, men samtidig representerer den en situasjon som kan forekomme. Estimatene i A5244 synes å være basert på den syntetiske gradtimekurven for Oslo, "Design reference year", (fig 2 i A5244), som i hht fig 1 vil underestimere kuldeperiodene. Dette har ført til at vi har kommet noe høyere i energiforbruk, spesielt til ventilasjon, enn A5244, selv om vi har brukt de oppgitte effekttallene. Når middeltemperaturene fra Blindern (fig 1) brukes, gir metodikken vår essensielt de samme resultatene som A5244, men et litt sterkere innslag av lave temperaturer.

Med disse temperaturforutsetningene og 65% virkningsgrad i varmegjenvinnerne i ventilasjonsanlegget, får vi et totalt energiforbruk til oppvarming og kjøling på ca. **30 GWh/år**.

Resultater

1. Effektdekning

Simuleringen gir et totalt forbruk til oppvarming på 27.9 GWh. 24.7 GWh (88%) av dette kan dekkes med varmepumpe. Effektdekningen over året er vist i fig 3. Merk at vi ikke har studert kjøleproblematikken i detalj i disse kjøringene. Vi har regnet med en reduksjon på 75% i det estimerte energiforbruket på 1.6 GWh til kjøling ("gratis" kjøling vha borehullslageret, bedret effektfaktor og utnyttelse av kjølevarmen til varmtvann).

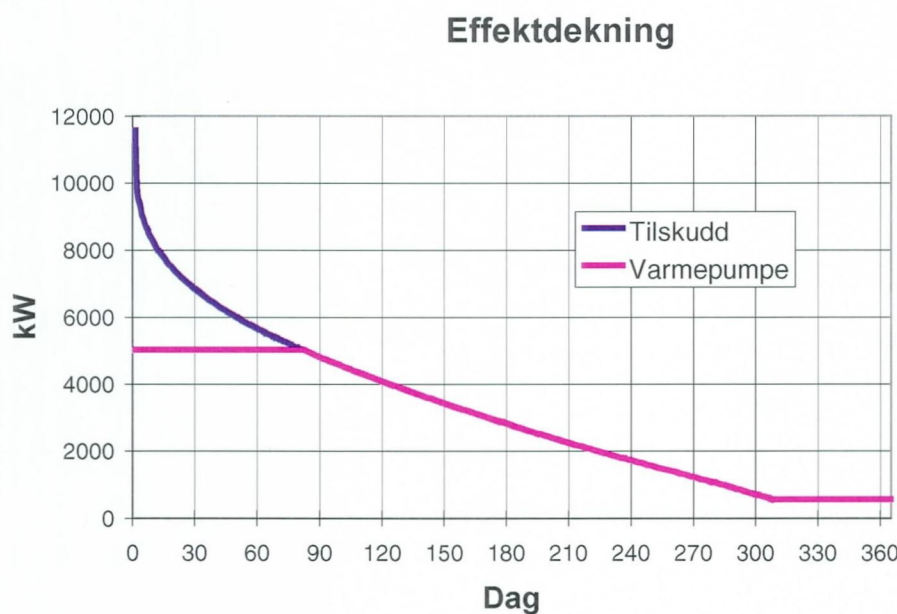


Fig 3. Effektdekning på varmesiden over årstimene, gruppert i "standarddogn" med konstant temperatur.

2. Varmelager

Vi har gjort simuleringer på virkemåten til et varmelager med ca. 40 000 lm borehull og et totalt volum på ca. 600 000 m³. De foreløpige resultatene indikerer at lageret kan ta opp 2-3.5 GWh varme fra kjølingen, og dersom det ikke er betydelige varmelekkasjer fra lageret, kan det dekke ca. 80% eller mer av varmepumpenes behov for lavtemperert varme ved lave utetemperaturer. I våre simuleringer har temperaturen variert mellom ca 6 og 18 °C. Lageret vil antakelig med fordel kunne brukes enda mer. F.eks. vil en utgangstemperatur rundt 0 °C være gunstig når kjølesesongen starter, og foran høsten kan lageret godt varmes opp til over 20 °C.

3. Økonomi

Energibesparelsen blir 17-18 GWh, ca 60% av forbruket til oppvarming eller drøyt 30% av totalforbruket.

Gradtimekurve Fosser Høland

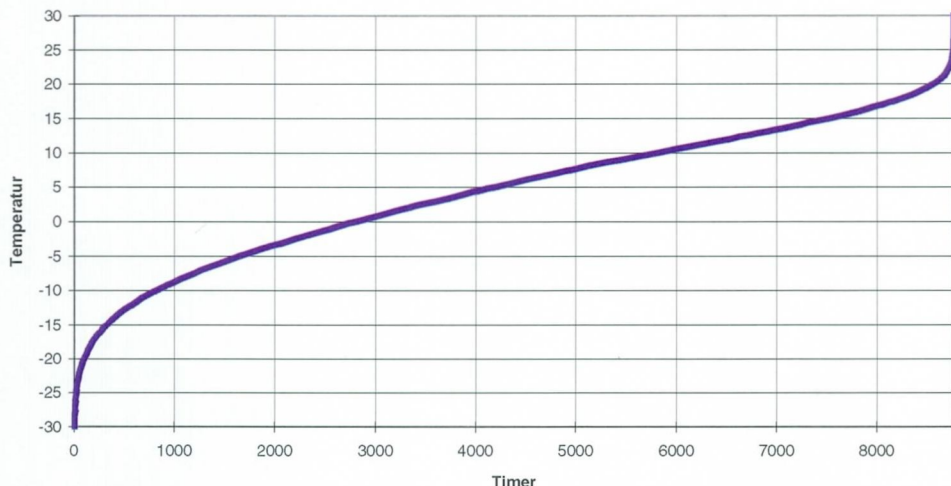


Fig 2. Syntetisk gradtimekurve for Fosser, Holand. Basert på målinger 1991-1996.

2. Turtemperaturer

For effektiv utnyttelse av fornybar energi, kan ikke turtemperaturene settes meget høyt. Anlegget dimensjoneres for ordinære turtemperaturer på **50-55 °C**. Dette økes noe ved utetemperaturer under -3 °C (spisslast). Varmtvannet holder standard 65 °C, og ettervarmes for spesielle formål (kjøkken mv.) I praksis blir det kanskje ikke hensiktsmessig å ha samme turtemperatur i alle energiblokker, men vi bruker dette her som en konservativ forutsetning.

3. Maskiner og varmegjenvinnere

Det brukes maskiner som utnytter avkast direkte, og som også kan bruke vann (fra varmelager eller vekslere). Maskinene kan utnytte luft i hele temperaturområdet som kan forekomme, men en eller flere av maskinene vil også utnytte borehullslageret ved lave utetemperaturer. Den samlede installerte effekten er **5 MW** v/effektfaktor 3. Med en kjølefaktor på drøyt 4, vil dette dekke det estimerte kjøleeffektbehovet på 7.2 MW. Systemet tillater enkel installasjon av flere maskiner av typene vann/vann eller uteluft/vann dersom dette viser seg å være ønskelig.

Vi har brukt konstant **65%** virkningsgrad på gjenvinnerne i beregningene. Dette bør være oppnåelig med f.eks "overdimensjonerte" vann/glykol-gjenvinnere uten at kostnadene blir uakseptabelt store, mens vi ser det som usikkert hva som kreves for å oppnå en gjennomsnittlig virkningsgrad på 70%. Med utnyttelsen av avkastet, blir jo også gjenvinningen totalt på ca 85-100%

Vi har regnet med en gjennomsnittlig effektfaktor på 3.2 for varmepumpene. Under optimaliserte driftsforhold vil effektfaktoren kunne ligge høyere.

4. Investeringskostnader

Vi har regnet med en ekstra investering på **32 mill NOK**, fordelt med 11 mill NOK på borehullslager, 15 mill NOK på maskineri og 6 mill NOK på diverse. Uten varmepumper og borehullslager, ville en måtte installere ca 7.2 MW kjølekapasitet til rundt regnet 1 mill NOK/MW, altså ca 7.2 mill NOK. Når dette trekkes fra, blir merinvesteringene med løsningen 24.8 mill NOK.

Med 0.4 NOK/kWh, blir besparelsene **ca 7.2 mill** NOK/år. Dette gir en payback på 4.4 år, og en nedbetalingstid (8% rente) på **5.7 år**. Tar en med de reduserte investeringene til kjøling, blir tidene hhv 3.4 og 4.2 år.

Vedlegg 6

**Fra Theorells AS v/ Einar Haram:
Notat: Grunnvarmebasert varmepumpe.
2 sider**

NOTAT

SAK : Grunnvarmebasert varmepumpe

DATO : 12.09. 2000

UTFØRT AV : Einar Haram

DISTRIBUSJON : Helge Skarphagen , Kåre Kleven , Øyvind Mork

Grunnvarmebasert varmepumpe for SIA.

På henvendelse fra Helge Skarphagen har vi gjennomført en rask overslagsberegning med tanke på å opprette ett energiborrslager i grunnen ved hjelp av varmepumpe.

Vårt forslag går ut på at man kjøler ned avkastluften etter at den har passert varmegjennvinningsbatteriet og tar ut den energien man har behov for. Man får den prosentvis fordelingen som er vist i tabellen nedenfor.

Måned	Ute-Temperatur °C	Graddager	Prosentvis varme-fordeling	Prosentvis kjøle-fordeling
Januar	-5,2	688	16,1	2,3
Februar	-4,7	629	14,8	3,2
Mars	-1,3	567	13,3	5,8
April	3,9	406	9,6	10
Mai	10,1	213	5,0	11,5
Juni	14,4	78	1,8	11,5
Juli	16,9	3	0,07	11,5
August	15,5	46	0,1	11,5
September	10,9	183	4,3	11,5
Oktober	5,6	353	8,3	8,2
November	0,8	486	11,4	6,8
Desember	-2,3	598	14,0	5,7

Vi har på bakgrunn av de nøkkeltallene som fremkommer i rapporten fra Sintef, Måltall for energibruk i sykehus, kommet frem til nedforstående størelser for energibehov til varme og kjøling, og i tillegg må man kjøle ned avkastluften for å hente ut energi.

Den energien man får ved å kjøle ned avkastluften etter at den har passert varmegjennvinningsbatteriene og klima- og prosess-kjølingen blir brukt enten til oppvarmingsformål direkte eller til å lagre energien i borrhullslageret.

Varme	26.313 kWh
Nedkjøling av avkastluften til borhullslager eller VP	13.500 kWh

Theorells AS Postadresse: Foretaksnr: Bankgiro: 6401.05.65187 Telefon: 22 22 22 10
Sandakerveien 74 920396674 MVA Postgiro: 0802.39.10528 Telefax: 22 22 55 10
0483 OSLO E-post:
firmapost@theorells.no

De ovenstående verdiene er lagt inn i programmet som simulerer borrhullslageret. Temperaturen på vesken i varmekollektorene vil variere fra -4,5 °C til maksimalt 30°C. Man får en liten temperaturøkning i lageret over de kommende 15 år.

Med de fremtidige energipriser som vil variere med sesongen vil dette bli en gunstig løsningen og som vil dekke 80 - 90 % av energibehovet til oppvarming og 100% av kjølebehovet.

Vi har gjennomført noen varmepumpesimuleringer basert på de ovenstående fakta og en kommet frem til en merkostnad ved å velge varmepumpe fremfor varmeanlegg som består av; 4 elkjeler og 4 stk oljekjeler, med til sammen ca 44 mill. kr. Til tross for dette vil ett varmepumpe anlegg med varmepumpe på 7 MW og full energidekning med oljekjeler og med ett borrhullslager i fjell bestående av 360 hull til 160 m dybde , være inntjent innenfor en tidsramme på 5 til 6 år.

Dette er gjort som en overslagsberegning for å se om det kan være økonomisk lønnsomt å bygge ett energi lager i fjell. På bakgrunn av vår beregninger synes dette å være en interessant løsning som bør utredes nærmere.

Med vennlig hilsen
Theorells AS

Einar Haram
Siv.ing

Vedlegg 7

Økonomisk beregning basert på data fra E-Tek. 3 sider

Nåverdiene er plottet på side 3. *Nåverdi brutto* viser nåverdi på totale kostnader på geovarmeanlegget (32 mill kr). *Nåverdi netto* viser nåverdi på geovarmeanlegget hvor innsparinger i kjøleinvesteringer (kostnader hvis det ikke benyttes borehullslager) på 7,2 mill kr er trukket ifra. Benevningen på y-aksen er kr.

Energipris (kr/kWh)	0.40
Midlere eff. Faktor	3.20
Annuitetsfaktor inkl. vedl. Etc.	0.08

Forbruk:

Forbruk oppvarming (kWh)	27 900 000
Varmepumpe (kWh)	24 701 433

Innspart, i 1000 kroner

Ord E-pris VP	Energipris x Forbruk VP =(0,40 X 24.701.433)	9 880 573
- Pris E-forb VP	Energipris x Forbruk VP/midlere eff.faktor =(0,40 X 24.701.433 / 3,2)	3 087 679
Besparelse ekskl. kjøling	Ord E-pris - Pris E forbruk VP	6 792 894
+ Besparelse v/kjøling		460 000
Sum besparelse		7 252 894

Ekstra investering:

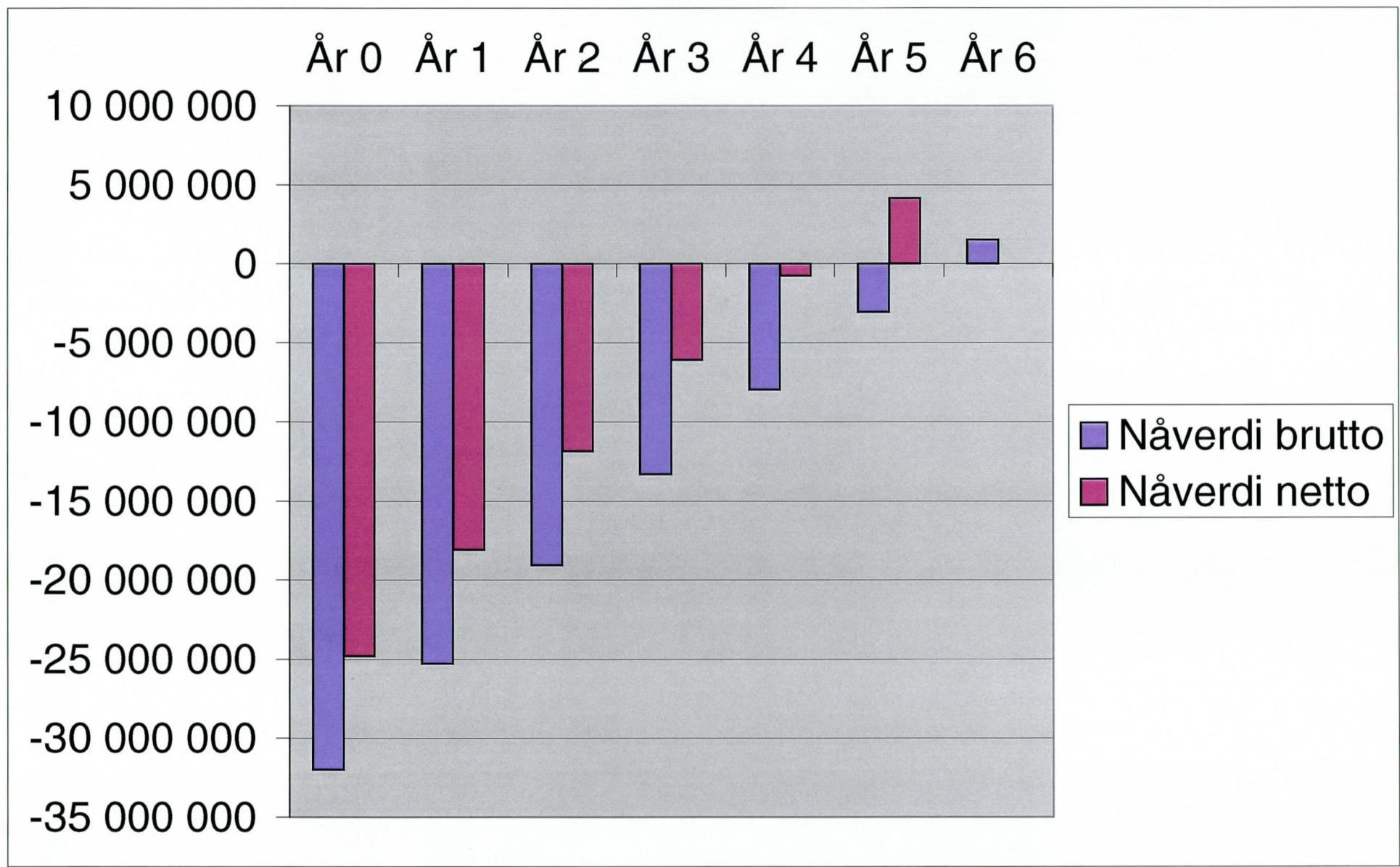
Kostnad borehullslager	11 000 000
Kostnad maskiner	15 000 000
Kostnader div.	6 000 000
Sum ekstra investering	32 000 000
- innspart kjøleinvestering	-7 200 000
Netto ekstra investering	24 800 000

Payback ekstra	Sum ekstra investering/ Sum besparelse (32000000/7252894)	4.4
Payback netto ekstra	Sum netto ekstra investering/ Sum besparelse (24800000/7252894)	3.4
Nedbetalingstid brutto	Se side 2	5.7
Nedbetalingstid netto	Se side 2	4.2

	År 0	År 1	År 2	År 3	År 4	År 5	År 6
Investeringer brutto	-32 000 000						
Investeringer netto	-24 800 000						
Sum besparelse	0	6 715 643	6 218 188	5 757 581	5 331 094	4 936 198	4 570 554
Kontantstrøm brutto	-32 000 000	6 715 643	6 218 188	5 757 581	5 331 094	4 936 198	4 570 554
Kontantstrøm netto	-24 800 000	6 715 643	6 218 188	5 757 581	5 331 094	4 936 198	4 570 554
Nåverdi brutto	-32 000 000	-25 284 357	-19 066 170	-13 308 589	-7 977 495	-3 041 297	1 529 256
Nåverdi netto	-24 800 000	-18 084 357	-11 866 170	-6 108 589	-777 495	4 158 703	
Annuitetsfaktor		1.08	1.1664	1.259712	1.36048896	1.469328077	1.58687432

Etter bruttoverdi er nåverdi lik 0 etter ca. 5,7 år

Etter nettoverdi er nåverdi lik 0 etter ca. 4,2 år



Ark3 Diagram 1

Vedlegg 8

Båsum Boring as.
Kostnadsoverslag komplett borehullslager på SiA.
1 sider

Kostnadsoverslag komplett borehullslager på SIA.

09.10.00

Kunde: NGU

Ref : HS

Prosjekt: SIA

Rigg og drift.	kr	50000,-
Tillegg for foring med stålrør 255 x 6 meter a kr 500,-	kr	765000,-
Boring i fjell tot lengde 255 hull på 160 m 40800m a kr112,-	kr	4569600,-
Antifreeze/glycol fylt kollektor Ø40 40800x2 meter mont i borehull a 38	kr	1550400,-
255 stk bunnlodd a kr 1000,-	kr	255000,-
255 stk brønntopper og bærejern a kr 1000,-	kr	255000,-
Graving av grøfter 3000 meter a kr 250,-	kr	750000,-
Stenge strupe vent og nødv samlestokker 180 punkt a kr 1500,-	kr	270000,-
Kullverter 15 stk a kr 25000,-	kr	375000,-
Kollektor slanger i grøfter pr meter i grøftØ 40 4600 meter a kr 50 ,-	kr.	230000,-
Kapping av stålrør sveising av kollektorslanger 255 stk a kr 900,-	kr	229500,-
Graving for og legging av samle/fordeling ledninger i borehullslageret samt en samle kum med strueventiler for dette.	kr	450000,-

Sum kr 9.749.500

Alle oppgitte priser blir tillagt MVA.

Arbeidstrykk ved 40 C vill være 5 kg på kollektorledningene.

Kostnadene ved graving og fremføring til teknisk rom fra varmelageret vil komme som et tillegg. Dette grunnet manglende opplysninger på lengdene på fremføringene.

(Rørtypen Haiex 40x3,7 max 60C)

Med hilsen
Båsum Boring AS

Vedlegg 9

**Utskrift fra EED simulering.
5 sider**

EED version 990201 Date: 2000-9-14 Time: 15.35
by Per Eskilson, Goran Hellstrom, Thomas Blomberg & Burkhard Sanner
Input file: D:\EED\SIA13H.DAT This output file: D:\EED\SIA13H.OUT

MEMORY NOTES FOR PROJECT

- 1:
- 2:
- 3:
- 4:
- 5:

DESIGN DATA

GROUND

Ground thermal conductivity	3.100 W/m,K
Ground heat capacity	2330000 J/m ³ ,K
Ground surface temperature	6.00 C
Geothermal heat flux	0.0430 W/m ²

BOREHOLE

Configuration: 120 : 10 x 12, rectangle	<i>x 3 = 360</i>
- g-function No.	307
Borehole depth	160.00 m
Borehole spacing	7.00 m
Borehole installation	SINGLE-U
Borehole diameter	0.140 m
U-pipe diameter	0.040 m
U-pipe thickness	0.0023 m
U-pipe thermal conductivity	0.420 W/m,K
U-pipe shank spacing	0.0700 m
Filling thermal conductivity	0.600 W/m,K
Contact resistance pipe/filling	0.0000 K/(W/m)

THERMAL RESISTANCES

Borehole thermal resistances are calculated.

Number of multipoles 4

Internal heat transfer between upward and downward channel(s) is considered.

HEAT CARRIER FLUID

Thermal conductivity	0.440 W/m,K
Specific heat capacity	4250 J/kg,K
Density	960 kg/m ³
Viscosity	0.007600 kg/m,s
Freezing point	-15.0 øC
Flow rate per borehole	0.000600 m ³ /s

BASE LOAD

Annual heating load **8770.00 MWh x 3 = 26310 MWh**
Annual cooling load **4500.00 MWh x 3 = 13500 MWh**

Seasonal performance factor (heating) 3.00
Seasonal performance factor (cooling) 2.00

Monthly energy profile

Month	Heat load	Cool load (MWh)
JAN	0.1600	0.0230
FEB	0.1480	0.0320
MAR	0.1330	0.0580
APR	0.0960	0.1100
MAY	0.0500	0.1150
JUN	0.0180	0.1150
JUL	0.0070	0.1150
AUG	0.0100	0.1150
SEP	0.0430	0.1150
OCT	0.0830	0.0820
NOV	0.1140	0.0680
DEC	0.1400	0.0570
<hr/>		
Total	1.0020	1.0050

PEAK LOAD

Monthly peak powers (kW)

Month	Peak heat	Duration	Peak cool	Duration
JAN	0.00	0.0	0.00	0.0
FEB	0.00	0.0	0.00	0.0
MAR	0.00	0.0	0.00	0.0
APR	0.00	0.0	0.00	0.0
MAY	0.00	0.0	0.00	0.0
JUN	0.00	0.0	0.00	0.0
JUL	0.00	0.0	0.00	0.0
AUG	0.00	0.0	0.00	0.0
SEP	0.00	0.0	0.00	0.0
OCT	0.00	0.0	0.00	0.0
NOV	0.00	0.0	0.00	0.0
DEC	0.00	0.0	0.00	0.0

Number of simulation years 15

First month of operation APR

C A L C U L A T E D V A L U E S

Total borehole length **19200.0 m x 3 = 57600m**

THERMAL RESISTANCES

Borehole therm. res. internal	0.5961 K/(W/m)
Reynolds number	2726
Thermal resistance fluid/pipe	0.0134 K/(W/m)
Thermal resistance pipe material	0.0463 K/(W/m)
Contact resistance pipe/filling	0.0000 K/(W/m)
Borehole therm. res. fluid/ground	0.1801 K/(W/m)
Effective borehole thermal res.	0.1825 K/(W/m)

SPECIFIC HEAT EXTRACTION RATE (W/m)

Month	Base load	Peak heat	Peak cool
JAN	55.67	0.00	-0.00
FEB	46.33	0.00	-0.00
MAR	27.55	0.00	-0.00
APR	-12.93	0.00	-0.00
MAY	-34.53	0.00	-0.00
JUN	-47.87	0.00	-0.00
JUL	-52.46	0.00	-0.00
AUG	-51.21	0.00	-0.00
SEP	-37.45	0.00	-0.00
OCT	-4.87	0.00	-0.00
NOV	14.81	0.00	-0.00
DEC	30.95	0.00	-0.00

BASE LOAD: MEAN FLUID TEMPERATURES (at end of month)

Month	Year 1	Year 2	Year 5	Year 10	Year 15
JAN	7.11	-9.83	-6.43	-3.84	-2.20
FEB	7.11	-8.02	-4.45	-1.90	-0.27
MAR	7.11	-2.32	1.29	3.78	5.38
APR	11.97	12.26	15.66	18.12	19.68
MAY	20.46	20.87	23.88	26.34	27.85
JUN	26.46	26.88	29.61	32.08	33.56
JUL	29.45	29.82	32.46	34.91	36.36
AUG	30.27	30.85	33.36	35.79	37.24
SEP	26.34	27.26	29.64	32.04	33.47
OCT	14.94	16.01	18.31	20.66	22.09
NOV	7.38	8.66	10.98	13.31	14.73
DEC	0.55	2.08	4.45	6.77	8.18

BASE LOAD: YEAR 15

Minimum mean fluid temperature	-2.20 C	at end of JAN
Maximum mean fluid temperature	37.24 C	at end of AUG

PEAK HEAT LOAD: MEAN FLUID TEMPERATURES (at end of month)

Month	Year 1	Year 2	Year 5	Year 10	Year 15
JAN	7.11	-9.83	-6.43	-3.84	-2.20
FEB	7.11	-8.02	-4.45	-1.90	-0.27
MAR	7.11	-2.32	1.29	3.78	5.38
APR	11.97	12.26	15.66	18.12	19.68
MAY	20.46	20.87	23.88	26.34	27.85
JUN	26.46	26.88	29.61	32.08	33.56
JUL	29.45	29.82	32.46	34.91	36.36
AUG	30.27	30.85	33.36	35.79	37.24
SEP	26.34	27.26	29.64	32.04	33.47
OCT	14.94	16.01	18.31	20.66	22.09
NOV	7.38	8.66	10.98	13.31	14.73
DEC	0.55	2.08	4.45	6.77	8.18

PEAK HEAT LOAD: YEAR 15

Minimum mean fluid temperature -2.20 C at end of JAN
Maximum mean fluid temperature 37.24 C at end of AUG

PEAK COOL LOAD: MEAN FLUID TEMPERATURES (at end of month)

Month	Year 1	Year 2	Year 5	Year 10	Year 15
JAN	7.11	-9.83	-6.43	-3.84	-2.20
FEB	7.11	-8.02	-4.45	-1.90	-0.27
MAR	7.11	-2.32	1.29	3.78	5.38
APR	11.97	12.26	15.66	18.12	19.68
MAY	20.46	20.87	23.88	26.34	27.85
JUN	26.46	26.88	29.61	32.08	33.56
JUL	29.45	29.82	32.46	34.91	36.36
AUG	30.27	30.85	33.36	35.79	37.24
SEP	26.34	27.26	29.64	32.04	33.47
OCT	14.94	16.01	18.31	20.66	22.09
NOV	7.38	8.66	10.98	13.31	14.73
DEC	0.55	2.08	4.45	6.77	8.18

PEAK COOL LOAD: YEAR 15

Minimum mean fluid temperature -2.20 C at end of JAN
Maximum mean fluid temperature 37.24 C at end of AUG

***** END OF FILE *****

